

BOLETÍN AGROMETEOROLÓGICO MENSUAL

SEPTIEMBRE 2024

Volumen IX
C.D.U.: 631:551.5 (82)(055)

Editores:

Elida Carolina González Morinigo
Lorena Judith Ferreira

Redactores:

Elida Carolina González Morinigo
Natalia Soledad Bonel
María Eugenia Bontempi
María Gabriela Marcora

Colaboradores:

Silvana Carina Bolzi
Cam Córdoba Fradinger

*Dirección Servicios Sectoriales
Servicio Meteorológico Nacional*

 <https://www.smn.gov.ar/>
Servicios | Sector Agropecuario

 +54 11 5167 6767 | interno 18901

 agro@smn.gov.ar

 Servicio Meteorológico Nacional
Dorrego 4019 (C1425GBE), Ciudad
Autónoma de Buenos Aires.
Argentina

 SMN.ar

 smn_argentina

 smn_argentina

 smnPRENSA

ÍNDICE

1

Generalidades

- 1.1 Aspectos agronómicos y agrometeorológicos generales del mes 1
- 1.2 Principales características por regiones 3

2

Temperatura

- 2.1 Temperatura media 1ra década 5
- 2.2 Temperatura media 2da década 6
- 2.3 Temperatura media 3da década 7
- 2.4 Heladas 9
- 2.5 Grados día 11
- 2.6 Mapas de temperatura 12

3

Precipitación

- 3.1 Precipitación acumulada 1ra década 12
- 3.2 Precipitación acumulada 2da década 14
- 3.3 Precipitación acumulada 3ra década 15
- 3.4 Mapas de precipitación 17

4

Índices satelitales

- 4.1 Índice normalizado de vegetación 18
- 4.2 Anomalía del índice normalizado de vegetación 19
- 4.3 Humedad del suelo 21

5

Pronóstico de rendimiento - ProRindes

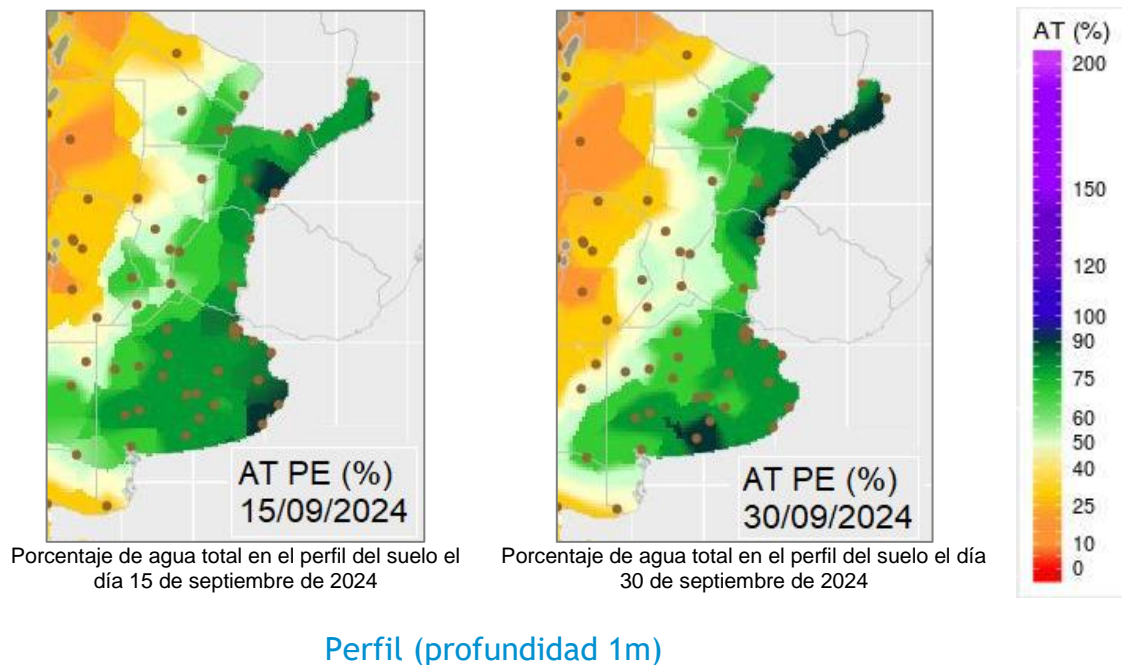
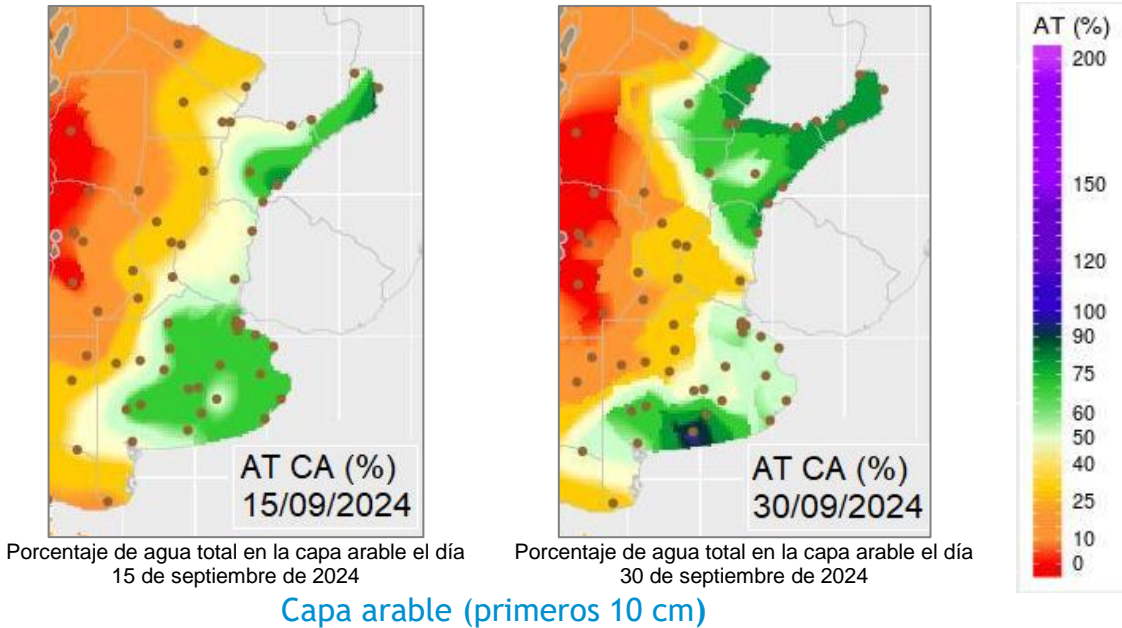
- 5.1 Pronóstico de rendimientos para los cultivos de trigo y cebada (fecha de inicio: 29/09/2023) 22

Definición y abreviaturas de parámetros empleados 23

Anexo: informe técnico sobre ProRindes 25

1.1 ASPECTOS AGRONÓMICOS Y AGROMETEOROLÓGICOS GENERALES DE SEPTIEMBRE 2024.

Avanza la siembra de girasol y las variedades de maíz de primera ocupación, en función a la disponibilidad de agua en el suelo. La cebada y los triguales se hallan fenológicamente en estado de encañazón o espigazón, en el sur de la región Pampeana, y en floración o inicio de llenado de granos en el extremo norte de la región.

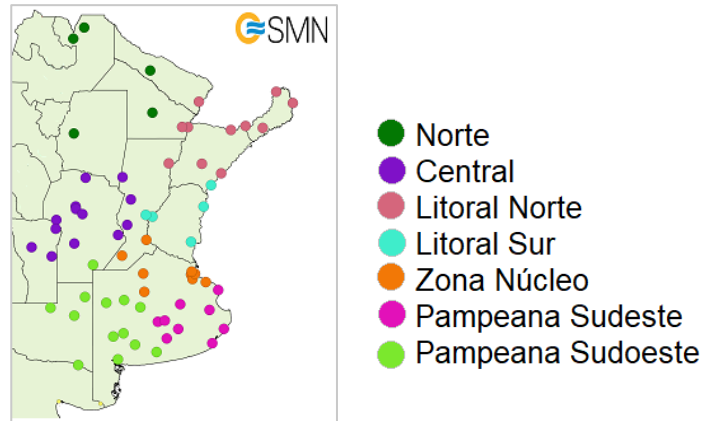


Más información en: https://www.smn.gob.ar/monitoreo_estados

► Monitoreo de cobertura vegetal, suelos y agua | Suelos

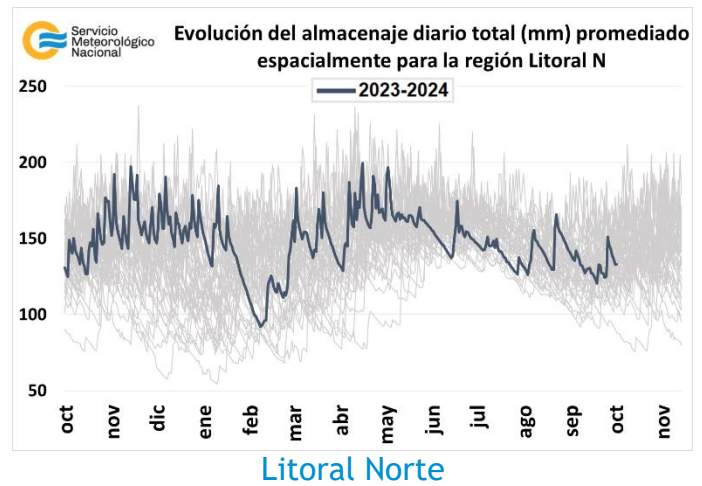
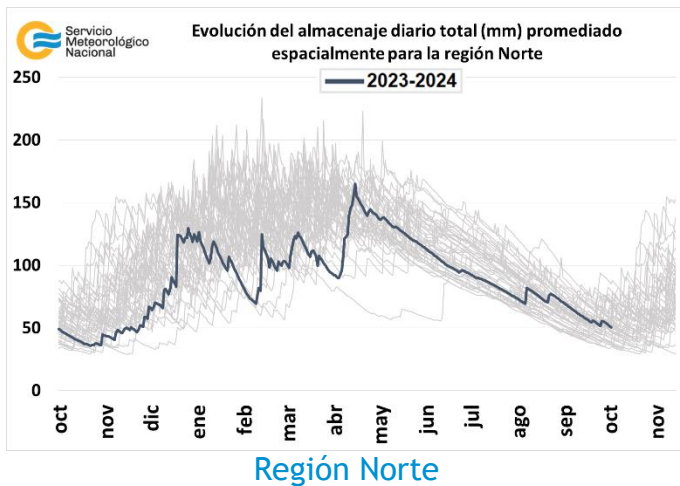
A continuación se presenta la evolución del almacenaje (BHOA) en el último año frente al periodo 1981-2021. Cada gráfico representa una zona del país, y los datos fueron obtenidos

promediando los valores de las estaciones disponibles en la zona, según puede verse en el mapa:



En los gráficos se muestra el almacenaje total diario del último año, en línea gruesa. Las líneas finas corresponden a los mismos días de los años anteriores, desde 1981. La presentación permite apreciar cualitativamente cómo se ubicó la evolución de los últimos doce meses con respecto a la distribución de los años anteriores.

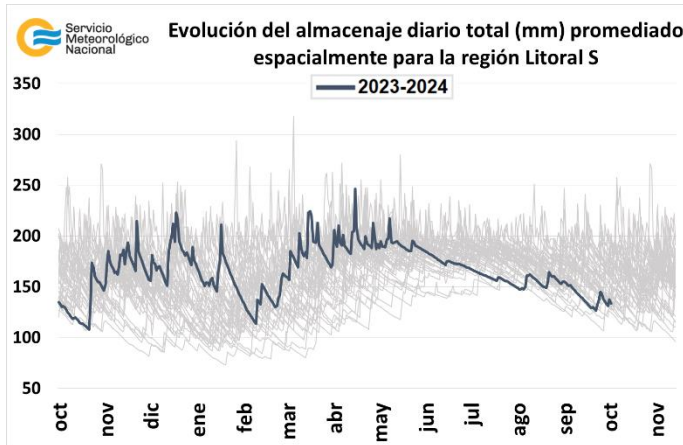
En la región Norte ocurrieron precipitaciones a partir de la segunda década de septiembre, produciendo pequeñas recargas de agua en el perfil del suelo en los últimos días del mes. De todas formas, domina una tendencia negativa en el almacenaje de agua desde mayo. En la zona Litoral Norte se produjeron precipitaciones a lo largo de septiembre y las más abundantes en los últimos días produciendo una recarga de humedad.



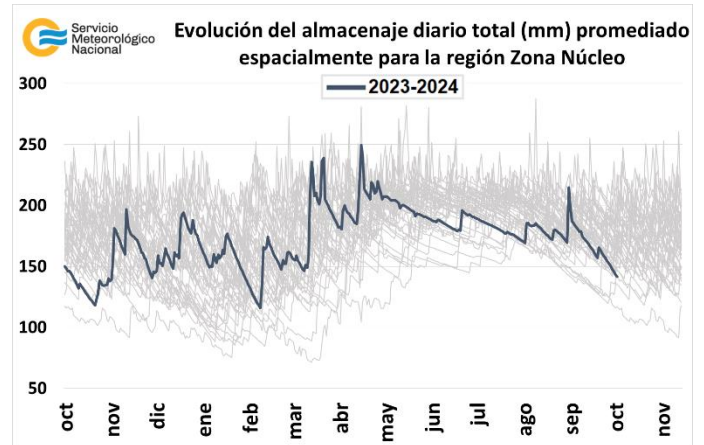
En el sur del Litoral se produjeron unas leves recargas de humedad en el suelo asociado a lluvias recibidas, pero el almacenaje de agua en el suelo continúa siendo de los más bajos desde 1981.

En la zona Núcleo casi no ocurrieron precipitaciones por lo que los suelos fueron perdiendo humedad, finalizando el mes con valores de almacenamiento de agua de los más bajos desde 1981.

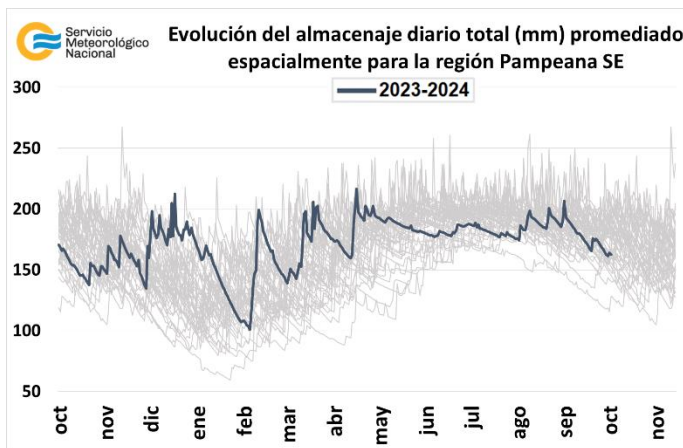
Tanto el sudeste de la región Pampeana como el sudoeste, recibieron precipitaciones a lo largo del mes, sin embargo no fueron suficientes para recargar de humedad el perfil edáfico. En la región Central prácticamente no se registraron lluvias y la humedad en el suelo fue detrimento.



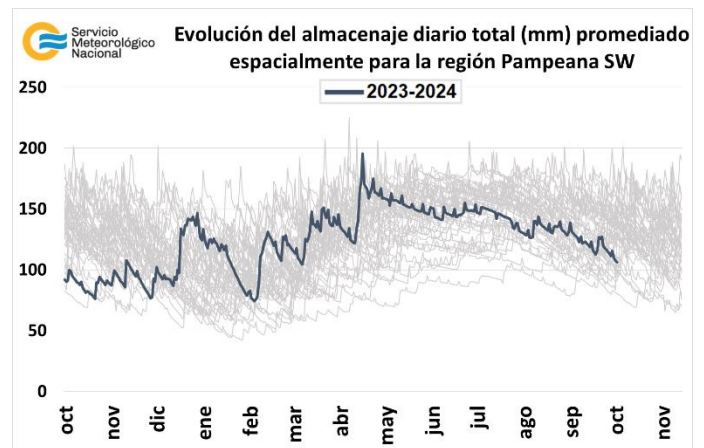
Litoral Sur



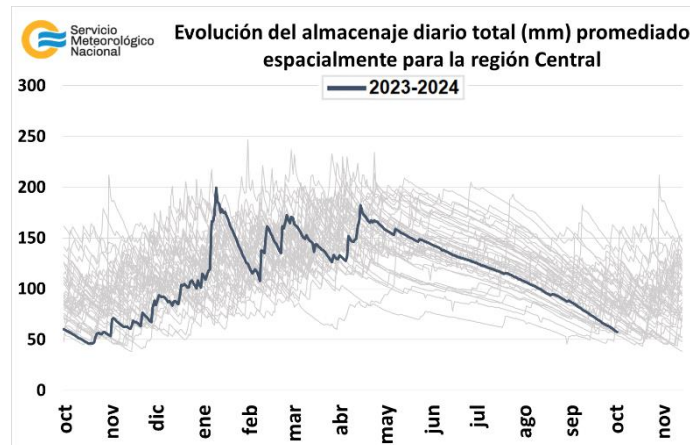
Zona Núcleo



Pampeana sudeste



Pampeana sudoeste

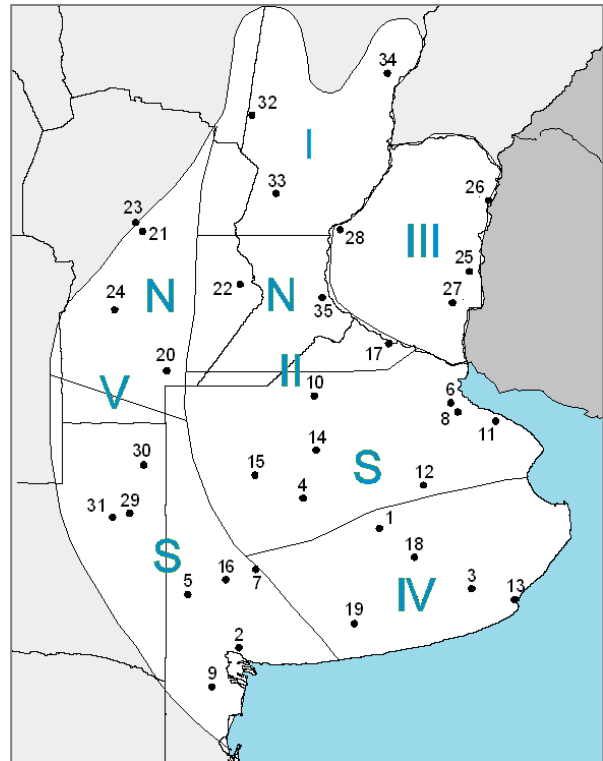


Región Central

1.2. PRINCIPALES CARACTERÍSTICAS POR REGIONES.

En esta sección se presentan las características agronómicas y agrometeorológicas más significativas del mes teniendo en cuenta las regiones trigueras que se muestran en la siguiente figura.

Estaciones	Latitud S	Longitud O
1) Azul (1)	36°45'	59°50'
2) Bahía Blanca (1)	38°44'	62°10'
3) Balcarce (2)	37°45'	58°18'
4) Bolívar (1)	36°15'	61°02'
5) Bordenave (2)	37°51'	63°01'
6) Castelar (2)	34°40'	58°39'
7) Coronel Suarez (1)	37°26'	61°53'
8) Ezeiza (1)	34°49'	58°32'
9) Hilario Ascasubi (2)	39°23'	62°37'
10) Junín (1)	34°33'	60°55'
11) La Plata (1)	34°58'	57°54'
12) Las Flores (1)	36°04'	59°06'
13) Mar del Plata (1)	37°56'	57°35'
14) Nueve de Julio (1)	35°27'	60°53'
15) Pehuajó (1)	35°52'	61°54'
16) Pigüé (1)	37°36'	62°23'
17) San Pedro (2)	33°41'	59°41'
18) Tandil (1)	37°14'	59°15'
19) Tres Arroyos (1)	38°20'	60°15'
20) Laboulaye (1)	34°08'	63°22'
21) Manfredi (2)	31°49'	63°46'
22) Marcos Juárez (1)	32°42'	62°09'
23) Pilar (1)	31°40'	63°53'
24) Río Cuarto (1)	33°07'	64°14'
25) Concepción del Uruguay (2)	32°29'	58°20'
26) Concordia (1)	31°18'	58°01'
27) Gualeguaychú (1)	33°00'	58°37'
28) Paraná (1)	31°47'	60°29'
29) Anguil (2)	36°30'	63°59'
30) General Pico (1)	35°42'	63°45'
31) Santa Rosa (1)	36°34'	64°16'
32) Ceres (1)	29°53'	61°57'
33) Rafaela (2)	31°11'	61°11'
34) Reconquista (1)	29°11'	59°42'
35) Rosario (1)	32°55'	60°47'



(1) Estaciones Meteorológicas del SMN
(2) Estaciones Meteorológicas del INTA

REGIÓN I: los triguales transitan las etapas de floración o inicio de llenado de granos, según las zonas; su estado general es malo debido principalmente a la ausencia de precipitaciones. Avanza la siembra de girasol y maíz con intermitencias debido a la escasez de humedad almacenada en el suelo.

REGIÓN II NORTE: la cebada se halla fenológicamente en fase de espigazón, con afecciones de mancha red ante la ausencia de precipitaciones. Los triguales transitan las etapas de encañazón, espigazón o floración, según las zonas. En el norte de esta región no se evidencian daños ni afecciones graves por problemas sanitarios, mientras que en el sur se visualizan síntomas de roya mancha amarilla y un aspecto desmejorado de los mismos a causa de la falta de lluvias. La siembra de girasol avanza de forma intermitente debido a la escasez hídrica. Los lotes ya emergidos muestran un buen stand inicial de plantas. Prosigue la siembra de maíz de primera ocupación en función a la disponibilidad de humedad superficial. Los lotes ya emergidos muestran las primeras hojas desplegadas con un buen stand inicial de plantas.

REGIÓN II SUR: los triguales se observan en plena emisión de hoja bandera. En el este de la región los cultivos presentan muy buenas condiciones generales, mientras que en el oeste, la escasez de lluvias favoreció al descenso del agua almacenada en el suelo y, en consecuencia, cayeron los rendimientos potenciales. Comenzaron las labores de siembra de maíz en función a la humedad almacenada en el suelo.

REGIÓN III: la cebada se observa fenológicamente en etapa de espigazón, con un buen estado general. Los triguales presentan un avance en su desarrollo muy variado, desde encañazón hasta inicio de llenado de granos. Los cultivos muestran un buen desarrollo, aunque en algunas zonas la escasez hídrica comienza a reducir los rendimientos potenciales. Avanza la siembra de girasol y maíz de primera ocupación en toda la región.

REGIÓN IV: los triguales se observan finalizando la etapa de macollaje o comenzando la elongación de los tallos, con condiciones adecuadas de agua útil en todo el perfil edáfico.

REGIÓN V NORTE: la cebada presenta un escaso desarrollo debido a la ausencia de precipitaciones. Se observa fenológicamente en encañazón o floración. Los triguales se hallan en estado de encañazón (los sembrados en la zona sur) y en espigazón (los sembrados al norte), bajo condiciones de estrés hídrico. La siembra de girasol se halla detenida por falta de humedad en el perfil edáfico. Prosigue la siembra de maíz de forma intermitente a causa de la escasez hídrica.

REGIÓN V SUR: los triguales transitan los estadíos de macollaje o encañazón, con un aspecto regular debido a la falta de precipitaciones y los progresivos aumentos en las temperaturas.

2. INFORME DE TEMPERATURA

En las siguientes tablas y mapas se muestran los valores de temperatura de las distintas décadas del mes de septiembre de 2024.

2.1 PRIMERA DÉCADA

Las temperaturas máximas mostraron desvíos positivos en casi toda el área, con las mayores diferencias respecto de la media (4°C o más) en el noroeste y centro de Córdoba, Tucumán, Catamarca, La Rioja y San Juan; sólo en el este de Formosa, noroeste y sudeste de Corrientes, noreste de Entre Ríos y algunas localidades del oeste patagónico, tuvieron valores negativos.

Las temperaturas mínimas, presentaron anomalías negativas en varios sectores del país: parte del NOA, el NEA, centro del territorio, Corrientes, norte de Entre Ríos, norte de La Pampa, este de San Luis, y el oeste y el sur de Buenos Aires; en el resto del área, fueron positivas, principalmente en la Patagonia.

Se registraron heladas en gran parte de la región Pampeana, destacándose el sur de Buenos Aires donde la frecuencia fue mayor.

DÉCADA 1 SEPTIEMBRE 2024

ESTACIONES METEOROLÓGICAS		TEMPERATURA MÁXIMA			TEMPERATURA MÍNIMA			TEMPERATURA MEDIA		
Localidad	Provincia	MED	ABS	DIA	MED	ABS	DIA	MED	PRO	DN
Azul	Buenos Aires	18.5	23.0	7	3.0	-3.9	5	10.8	9.9	0.9
Bahia Blanca	Buenos Aires	19.3	22.6	8	3.5	-2.0	5	11.4	10.7	0.7
Balcarce	Buenos Aires	19.2	23.6	7	5.4	0.4	5	12.3	10.1	2.2
Bolívar	Buenos Aires	19.2	23.6	8	4.0	-0.3	1	11.6	10.9	0.7
Bordenave	Buenos Aires	19.0	23.2	8	3.5	-1.4	8	11.3	10.4	0.9
Castelar	Buenos Aires	20.1	24.4	7	8.0	1.4	5	14.1	13.4	0.6
Coronel Suarez	Buenos Aires	17.7	22.5	8	1.4	-6.4	5	9.6	9.3	0.3
Ezeiza	Buenos Aires	19.6	23.0	8	8.2	0.5	5	13.9	13.1	0.8
Junín	Buenos Aires	21.1	23.9	7	5.9	0.6	5	13.5	12.4	1.1
La Plata	Buenos Aires	18.6	22.7	7	7.4	1.0	5	13.0	12.1	0.9
Las Flores	Buenos Aires	19.5	23.0	7	7.4	1.2	5	13.5	11.3	2.2
Mar Del Plata	Buenos Aires	18.0	22.6	8	4.8	0.0	5	11.4	9.8	1.6
Nueve de Julio	Buenos Aires	20.9	24.4	8	7.0	3.0	5	13.9	12.1	1.8
Pehuajó	Buenos Aires	20.0	24.3	8	4.4	-0.5	5	12.2	11.4	0.8
Pigüé	Buenos Aires	17.4	21.8	8	3.4	-0.7	5	10.4	9.4	1.0
San Pedro	Buenos Aires	20.8	24.9	7	7.4	1.3	5	14.1	13.7	0.4
Tandil	Buenos Aires	18.7	23.3	7	2.9	-3.9	5	10.8	9.5	1.3
Tres Arroyos	Buenos Aires	18.8	23.7	8	3.6	-1.6	5	11.2	9.8	1.4
Laboulaye	Córdoba	24.0	27.8	9	4.7	-1.0	5	14.4	12.2	2.2
Marcos Juárez	Córdoba	24.7	28.2	10	6.3	1.2	5	15.5	13.3	2.2
Pilar	Córdoba	26.2	33.3	2	7.7	2.4	1	17.0	13.9	3.1
Río Cuarto	Córdoba	25.3	28.6	9	6.8	1.2	1	16.1	12.8	3.3
Concepción del Uruguay	Entre Ríos	21.4	25.7	7	7.8	1.6	5	14.6	14.7	-0.1
Concordia	Entre Ríos	21.1	26.2	7	10.2	2.5	5	15.6	15.5	0.1
Guaqueguaychú	Entre Ríos	20.8	25.3	8	8.9	2.3	5	14.8	14.1	0.7
Paraná	Entre Ríos	23.5	26.4	7	9.9	7.5	5	16.7	14.8	1.9
General Pico	La Pampa	21.4	24.9	8	5.4	1.9	4	13.4	12.1	1.3
Santa Rosa	La Pampa	20.9	23.7	8	4.9	-0.6	5	12.9	11.3	1.6
Ceres	Santa Fe	26.7	30.1	10	9.1	4.8	5	17.9	15.9	2.0
Reconquista	Santa Fe	25.0	27.1	3	10.3	4.0	5	17.6	17.2	0.4
Rosario	Santa Fe	22.7	25.5	7	9.2	3.5	5	15.9	14.1	1.8

2.2 SEGUNDA DÉCADA

Las temperaturas máximas fueron muy superiores a la normales, mientras que en el sur patagónico predominaron los desvíos negativos de esta variable. Las temperaturas mínimas también presentaron anomalías positivas en la mayor parte del territorio nacional, a excepción del extremo sur y el norte de la Patagonia y en el sudeste de la provincia de Buenos Aires, en donde se observaron desvíos negativos, en promedio.

En el centro y sur de la provincia de Buenos Aires y en el sudeste de La Pampa, continuaron registrándose temperaturas inferiores a 0°C en nivel del suelo.

DÉCADA 2 SEPTIEMBRE 2024

ESTACIONES METEOROLÓGICAS		TEMPERATURA MÁXIMA			TEMPERATURA MÍNIMA			TEMPERATURA MEDIA		
Localidad	Provincia	MED	ABS	DIA	MED	ABS	DIA	MED	PRO	DN
Azul	Buenos Aires	20.9	25.6	18	4.6	0.5	14	12.8	10.4	2.4
Bahia Blanca	Buenos Aires	21.2	28.9	18	6.0	-0.3	14	13.6	11.8	1.8
Balcarce	Buenos Aires	21.0	26.0	18	5.9	0.9	12	13.4	11.0	2.4
Bolívar	Buenos Aires	22.4	27.7	18	5.2	0.5	14	13.8	11.7	2.1
Bordenave	Buenos Aires	21.7	27.6	18	5.5	0.5	14	13.6	11.2	2.4
Castelar	Buenos Aires	23.1	26.8	16	9.6	4.7	15	16.4	13.8	2.6
Coronel Suarez	Buenos Aires	20.8	26.9	18	3.6	-1.7	16	12.2	10.2	2.0
Ezeiza	Buenos Aires	21.9	26.8	18	9.8	4.6	12	15.8	13.6	2.2
Junín	Buenos Aires	24.4	29.6	18	7.5	0.5	12	16.0	13.0	3.0
La Plata	Buenos Aires	20.7	26.0	18	7.7	3.3	12	14.2	12.7	1.5
Las Flores	Buenos Aires	21.5	27.0	18	8.7	4.0	14	15.1	11.9	3.2
Mar Del Plata	Buenos Aires	19.6	24.8	17	4.3	-0.8	15	11.9	10.4	1.5
Nueve de Julio	Buenos Aires	23.6	28.4	18	8.7	4.2	15	16.2	12.9	3.3
Pehuajó	Buenos Aires	23.5	29.0	18	6.3	0.5	14	14.9	12.3	2.6
Pigüé	Buenos Aires	20.1	26.6	18	5.1	1.3	14	12.6	10.3	2.3
San Pedro	Buenos Aires	23.9	28.3	18	9.2	4.1	12	16.6	14.2	2.4
Tandil	Buenos Aires	20.6	25.0	18	3.5	-1.1	16	12.0	10.0	2.0
Tres Arroyos	Buenos Aires	20.7	28.0	18	5.5	0.2	12	13.2	10.7	2.5
Laboulaye	Córdoba	25.7	30.6	18	7.4	-0.5	12	16.6	13.0	3.6
Marcos Juárez	Córdoba	26.4	32.0	18	7.9	1.8	14	17.1	14.0	3.1
Pilar	Córdoba	27.1	34.6	19	9.7	4.6	13	18.4	14.8	3.6
Río Cuarto	Córdoba	26.7	32.6	18	10.2	4.7	14	18.5	14.0	4.5
Concepción del Uruguay	Entre Ríos	23.9	29.3	18	9.4	1.0	15	16.6	14.8	1.8
Concordia	Entre Ríos	23.9	29.0	18	11.4	5.5	15	17.6	15.8	1.8
Guaqueguaychú	Entre Ríos	23.5	28.5	18	10.1	3.7	15	16.8	14.6	2.2
Paraná	Entre Ríos	25.2	33.1	19	12.0	7.0	15	18.6	15.3	3.3
General Pico	La Pampa	24.2	29.2	16	7.3	0.9	12	15.8	13.3	2.5
Santa Rosa	La Pampa	23.5	28.6	18	6.2	-0.4	12	14.9	12.5	2.4
Ceres	Santa Fe	28.5	37.5	19	11.3	5.3	15	19.9	16.5	3.4
Reconquista	Santa Fe	26.9	36.2	19	13.3	5.8	16	20.1	17.4	2.7
Rosario	Santa Fe	25.2	33.1	19	9.4	5.2	12	17.3	14.7	2.6

2.3 TERCERA DÉCADA

En esta década, la circulación ciclónica que predominó al norte de la península antártica favoreció el ingreso de aire frío polar que atravesó la Patagonia, mientras que el norte y centro del país fueron afectados por el flujo del norte casi constante a lo largo de los días. Un solo sistema frontal logró avanzar por esta región, pero no alcanzó a llegar al sur de la región pampeana.

Esta circulación provocó un marcado dipolo en los patrones de anomalías de las temperaturas extremas medias: el norte y centro, anómalamente cálidos y el sur, frío, particularmente en las máximas, que alcanzaron valores de 5 °C por encima y por debajo del promedio respectivamente.

DÉCADA 3 SEPTIEMBRE 2024

ESTACIONES METEOROLÓGICAS		TEMPERATURA MÁXIMA			TEMPERATURA MÍNIMA			TEMPERATURA MEDIA		
Localidad	Provincia	MED	ABS	DIA	MED	ABS	DIA	MED	PRO	DN
Azul	Buenos Aires	21.8	27.2	29	6.3	0.6	27	14.1	11.9	2.2
Bahia Blanca	Buenos Aires	21.6	26.5	29	6.3	0.3	26	14.0	13.0	1.0
Balcarce	Buenos Aires	21.4	27.0	29	7.0	0.6	27	14.2	11.7	2.5
Bolívar	Buenos Aires	23.7	30.3	29	8.1	1.5	27	15.9	13.0	2.9
Bordenave	Buenos Aires	21.6	26.5	29	7.8	-1.7	26	14.7	12.4	2.3
Castelar	Buenos Aires	24.3	30.9	30	12.0	4.6	27	18.2	14.9	3.3
Coronel Suarez	Buenos Aires	21.3	27.0	29	6.2	-0.4	26	13.7	11.5	2.2
Ezeiza	Buenos Aires	24.1	30.0	30	11.5	3.8	27	17.8	14.7	3.1
Junín	Buenos Aires	25.8	32.6	29	10.1	3.2	27	18.0	14.2	3.8
La Plata	Buenos Aires	22.4	28.0	30	9.6	2.4	27	16.0	13.7	2.3
Las Flores	Buenos Aires	22.2	28.0	29	10.6	6.5	25	16.4	13.1	3.3
Mar Del Plata	Buenos Aires	20.3	26.1	29	6.7	0.2	27	13.5	11.1	2.4
Nueve de Julio	Buenos Aires	24.8	31.9	29	10.7	5.9	27	17.7	14.2	3.5
Pehuajó	Buenos Aires	25.2	32.4	29	8.6	2.5	26	16.9	13.7	3.2
Pigüé	Buenos Aires	20.8	26.0	29	6.7	0.3	26	13.7	11.5	2.2
San Pedro	Buenos Aires	25.7	33.8	30	12.1	4.7	27	18.9	15.9	3.0
Tandil	Buenos Aires	21.6	26.2	29	4.4	-1.9	27	13.0	11.2	1.8
Tres Arroyos	Buenos Aires	21.4	26.2	29	7.9	1.8	26	14.7	11.8	2.9
Laboulaye	Córdoba	28.0	35.4	29	8.7	3.8	26	18.4	14.4	4.0
Marcos Juárez	Córdoba	28.5	37.4	30	10.2	2.9	27	19.3	15.5	3.8
Pilar	Córdoba	29.0	40.3	30	11.7	7.5	24	20.3	16.0	4.3
Río Cuarto	Córdoba	28.9	36.0	29	10.3	5.3	26	19.6	15.2	4.4
Concepción del Uruguay	Entre Ríos	25.4	34.2	22	12.8	3.8	27	19.1	15.9	3.2
Concordia	Entre Ríos	25.3	36.0	30	14.7	7.7	27	20.0	17.0	3.0
Gualedaychú	Entre Ríos	25.8	34.6	30	13.2	3.9	27	19.5	15.9	3.6
Paraná	Entre Ríos	27.6	38.7	30	14.5	7.8	27	21.1	16.5	4.6
General Pico	La Pampa	26.4	35.0	29	9.5	1.2	26	18.0	14.5	3.5
Santa Rosa	La Pampa	24.0	30.7	29	8.5	-1.0	26	16.2	13.7	2.5
Ceres	Santa Fe	30.5	41.4	30	14.7	5.8	27	22.6	17.8	4.8
Reconquista	Santa Fe	29.3	39.9	30	16.6	9.1	27	22.9	18.6	4.3
Rosario	Santa Fe	27.1	36.4	30	12.6	5.5	27	19.8	16.1	3.7

Referencias correspondientes a las tablas de temperaturas (°C) por década

MED: valor medio

ABS: valor absoluto

DÍA: fecha en que se registró el valor absoluto

SD: sin datos

PRO: valor promedio del período 1991-2020

DN: desvío del promedio

2.4 HELADAS

PRIMERA HELADA HASTA EL 15 DE JULIO DE 2024

ESTACIONES METEOROLÓGICAS		Tmin<3°C		Tmin<0°C		Tmi5suelo<0°C
Localidad	Provincia	Primera helada 2024	FMPH	Primera helada 2024	FMPH	Primera helada 2023
Azul	Buenos Aires	11/04	25/03	03/05	29/04	11/04
Bahia Blanca	Buenos Aires	24/04	13/04	14/05	11/05	X
Balcarce	Buenos Aires	28/04	03/05	26/05	05/06	SD
Bolívar	Buenos Aires	03/05	09/04	13/05	17/05	X
Bordenave	Buenos Aires	21/03	19/03	03/05	07/05	SD
Castelar	Buenos Aires	03/05	03/05	25/05	04/06	SD
Coronel Suarez	Buenos Aires	24/04	18/03	03/05	24/04	X
Ezeiza	Buenos Aires	03/05	06/05	25/05	08/06	X
Hilario Ascasubi	Buenos Aires	SD	10/04	SD	09/05	SD
Junín	Buenos Aires	28/04	25/04	14/05	21/05	24/04
La Plata	Buenos Aires	03/05	11/05	19/05	11/06	X
Las Flores	Buenos Aires	13/05	15/04	25/05	17/05	X
Mar Del Plata	Buenos Aires	28/04	16/04	03/05	22/05	28/04
Nueve de Julio	Buenos Aires	03/05	08/05	14/05	05/06	X
Pehuajó	Buenos Aires	03/05	25/04	14/05	23/05	X
Pigüé	Buenos Aires	24/04	26/03	03/05	27/04	24/04
San Pedro	Buenos Aires	17/06	04/05	29/06	10/06	SD
Tandil	Buenos Aires	22/03	08/03	03/05	30/04	28/04
Tres Arroyos	Buenos Aires	02/05	20/04	03/05	21/05	X
Laboulaye	Córdoba	03/05	01/05	09/05	27/05	X
Manfredi	Córdoba	03/05	13/04	09/05	07/05	SD
Marcos Juárez	Córdoba	03/05	30/04	09/05	27/05	X
Pilar	Córdoba	09/05	07/05	14/05	03/06	14/05
Río Cuarto	Córdoba	09/05	10/05	26/05	05/06	X
Concepción del Uruguay	Entre Ríos	03/05	18/05	26/05	15/06	SD
Concordia	Entre Ríos	15/05	21/05	30/06	14/06	X
Gualedaychú	Entre Ríos	15/05	14/05	26/05	11/06	X
Paraná	Entre Ríos	25/05	11/06	09/07	27/06	X
Anguil	La Pampa	21/03	27/03	03/05	24/04	SD
General Pico	La Pampa	24/04	23/04	14/05	17/05	X
Santa Rosa	La Pampa	24/04	14/04	03/05	11/05	X
Ceres	Santa Fe	15/05	22/05	26/05	17/06	X
Rafaela	Santa Fe	09/05	06/05	27/05	05/06	SD
Reconquista	Santa Fe	25/05	12/06	09/07	27/06	X
Rosario	Santa Fe	03/05	07/05	15/05	02/06	X

Referencias correspondientes a la tabla de fechas de primera helada

Primera helada 2024: fecha en que se registró por primera vez una temperatura mínima inferior a 3°C o 0°C. Se considera primera helada o helada temprana a aquella registrada antes del 15 de julio.

Tmin<3°C: temperatura mínima registrada en el abrigo meteorológico inferior a 3°C.

Tmin<0°C: temperatura mínima registrada en el abrigo meteorológico inferior a 0°C

FMPH: fecha media de primera helada calculada en el período 1991-2020.

Tmi5suelo<0°C: temperatura mínima a 5cm del suelo registrada fuera del abrigo meteorológico, inferior a 0°C. Los datos pertenecen solamente a la red del SMN.

x: la estación no realiza medición de temperatura mínima a 5cm del suelo.

ÚLTIMA HELADA SEPTIEMBRE 2024

ESTACIONES METEOROLÓGICAS		Tmin<3°C		Tmin<0°C		Tmi5suelo<0°C
Localidad	Provincia	Última helada 2024	FMUH	Última helada 2024	FMUH	Última helada 2024
Azul	Buenos Aires	27/09	14/11	07/09	05/10	27/09
Bahia Blanca	Buenos Aires	26/09	03/11	14/09	29/09	26/09
Balcarce	Buenos Aires	27/09	26/10	26/08	14/09	SD
Bolívar	Buenos Aires	27/09	19/10	05/09	16/09	-
Bordenave	Buenos Aires	26/09	07/11	26/09	05/10	X
Castelar	Buenos Aires	05/09	30/09	26/08	25/08	SD
Coronel Suárez	Buenos Aires	27/09	23/11	26/09	18/10	-
Ezeiza	Buenos Aires	05/09	26/09	26/08	30/08	X
Hilario Ascasubi	Buenos Aires	SD	08/11	SD	30/09	SD
Junín	Buenos Aires	12/09	02/10	25/08	09/09	27/09
La Plata	Buenos Aires	27/09	06/10	26/08	25/08	-
Las Flores	Buenos Aires	05/09	20/10	25/08	14/09	X
Mar Del Plata	Buenos Aires	27/09	10/11	17/09	05/10	27/09
Nueve de Julio	Buenos Aires	05/09	21/09	23/08	28/08	X
Pehuajó	Buenos Aires	26/09	04/10	05/09	14/09	X
Pigüé	Buenos Aires	27/09	12/11	05/09	13/10	27/09
San Pedro	Buenos Aires	05/09	23/09	25/08	30/08	SD
Tandil	Buenos Aires	28/09	25/11	27/09	18/10	-
Tres Arroyos	Buenos Aires	26/09	26/10	08/09	25/09	X
Laboulaye	Córdoba	12/09	02/10	12/09	08/09	24/09
Manfredi	Córdoba	SD	13/10	SD	24/09	SD
Marcos Juárez	Córdoba	27/09	30/09	26/08	07/09	-
Pilar	Córdoba	05/09	17/09	25/08	29/08	01/09
Río Cuarto	Córdoba	07/09	20/09	26/08	30/08	X
Concepción del Uruguay	Entre Ríos	15/09	29/09	27/08	20/08	SD
Concordia	Entre Ríos	05/09	14/09	-	14/08	05/09
Gualedaychú	Entre Ríos	05/09	21/09	12/08	22/08	X
Paraná	Entre Ríos	26/08	02/09	-	03/08	X
Anguil	La Pampa	SD	31/10	SD	03/10	SD
General Pico	La Pampa	26/09	11/10	25/08	12/09	X
Santa Rosa	La Pampa	26/09	18/10	26/09	20/09	26/09
Ceres	Santa Fe	27/08	14/09	11/08	23/08	27/08
Rafaela	Santa Fe	SD	19/09	SD	30/08	SD
Reconquista	Santa Fe	25/08	28/08	-	08/08	X
Rosario	Santa Fe	25/08	24/09	25/08	29/08	X

Referencias correspondientes a la tabla de fechas de última helada

Última helada 2024: fecha en que se registró por última vez una temperatura mínima inferior a 3°C o 0°C. Se considera última helada o helada tardía a aquella registrada después del 15 de julio.

Tmin<3°C: temperatura mínima registrada en el abrigo meteorológico inferior a 3°C.

Tmin<0°C: temperatura mínima registrada en el abrigo meteorológico inferior a 0°C

FMUH: fecha media de última helada calculada en el período 1991-2020.

Tmi5suelo<0°C: temperatura mínima a 5cm del suelo registrada fuera del abrigo meteorológico, inferior a 0°C. Los datos pertenecen solamente a la red del SMN.

x: la estación no realiza medición de temperatura mínima a 5cm del suelo.

2.5 GRADOS DÍA

SEPTIEMBRE 2024

ESTACIONES METEOROLÓGICAS		GRADOS DÍAS Acumulados desde el 1 de mayo				Días con Tmín<2°C
		BASE 5		BASE 10		
Localidad	Provincia	Mes	Acum	Mes	Acum	
Azul	Buenos Aires	226.0	671.7	82.8	178.7	10
Bahia Blanca	Buenos Aires	239.7	730.6	94.9	209.6	7
Balcarce	Buenos Aires	249.1	810.9	100.5	239.6	5
Bolívar	Buenos Aires	263.2	769.5	116.4	231.3	7
Bordenave	Buenos Aires	246.1	701.0	100.2	182.9	7
Castelar	Buenos Aires	336.4	1129.2	186.5	486.5	1
Coronel Suarez	Buenos Aires	205.0	574.5	69.1	130.9	10
Ezeiza	Buenos Aires	325.5	1066.2	176.1	445.6	1
Junín	Buenos Aires	324.8	999.9	174.8	389.4	2
La Plata	Buenos Aires	281.9	950.7	133.3	341.9	1
Las Flores	Buenos Aires	299.5	927.4	150.1	334.3	1
Mar Del Plata	Buenos Aires	218.5	719.4	72.7	174.0	9
Nueve de Julio	Buenos Aires	327.8	983.0	177.8	373.7	0
Pehuajó	Buenos Aires	289.9	878.1	141.1	298.2	6
Pigüé	Buenos Aires	217.0	616.5	76.5	143.1	7
San Pedro	Buenos Aires	345.6	977.6	195.6	458.4	1
Tandil	Buenos Aires	208.3	613.7	65.9	145.6	10
Tres Arroyos	Buenos Aires	240.1	761.1	97.2	219.3	7
Laboulaye	Córdoba	343.2	987.6	193.6	373.7	4
Manfredi	Córdoba	SD	374.3	SD	133.5	SD
Marcos Juárez	Córdoba	369.9	1131.9	219.9	505.1	3
Pilar	Córdoba	407.3	1198.7	257.3	533.7	0
Río Cuarto	Córdoba	391.5	1132.0	241.5	481.9	1
Concepción del Uruguay	Entre Ríos	353.6	1298.6	203.6	629.6	2
Concordia	Entre Ríos	382.3	1506.3	232.3	790.8	0
Gualedaychú	Entre Ríos	360.8	1269.7	210.8	606.2	0
Paraná	Entre Ríos	413.1	1405.8	263.1	701.8	0
Anguil	La Pampa	SD	112.0	SD	14.8	SD
General Pico	La Pampa	321.4	893.3	171.4	311.4	4
Santa Rosa	La Pampa	289.9	802.1	139.9	244.0	4
Ceres	Santa Fe	453.7	1563.5	303.7	846.5	0
Rafaela	Santa Fe	SD	576.1	SD	288.9	SD
Reconquista	Santa Fe	456.6	1747.4	306.6	1024.3	0
Rosario	Santa Fe	380.3	1232.5	230.3	581.2	0

MES: grados día acumulados en el mes

Base 5: temperatura base 5°C

TMín: temperatura mínima (°C)

San Pedro: datos faltantes en mayo 2024

Rafaela y Manfredi: datos faltantes de julio a septiembre 2024

Acum: grados día acumulados a partir del 01/05

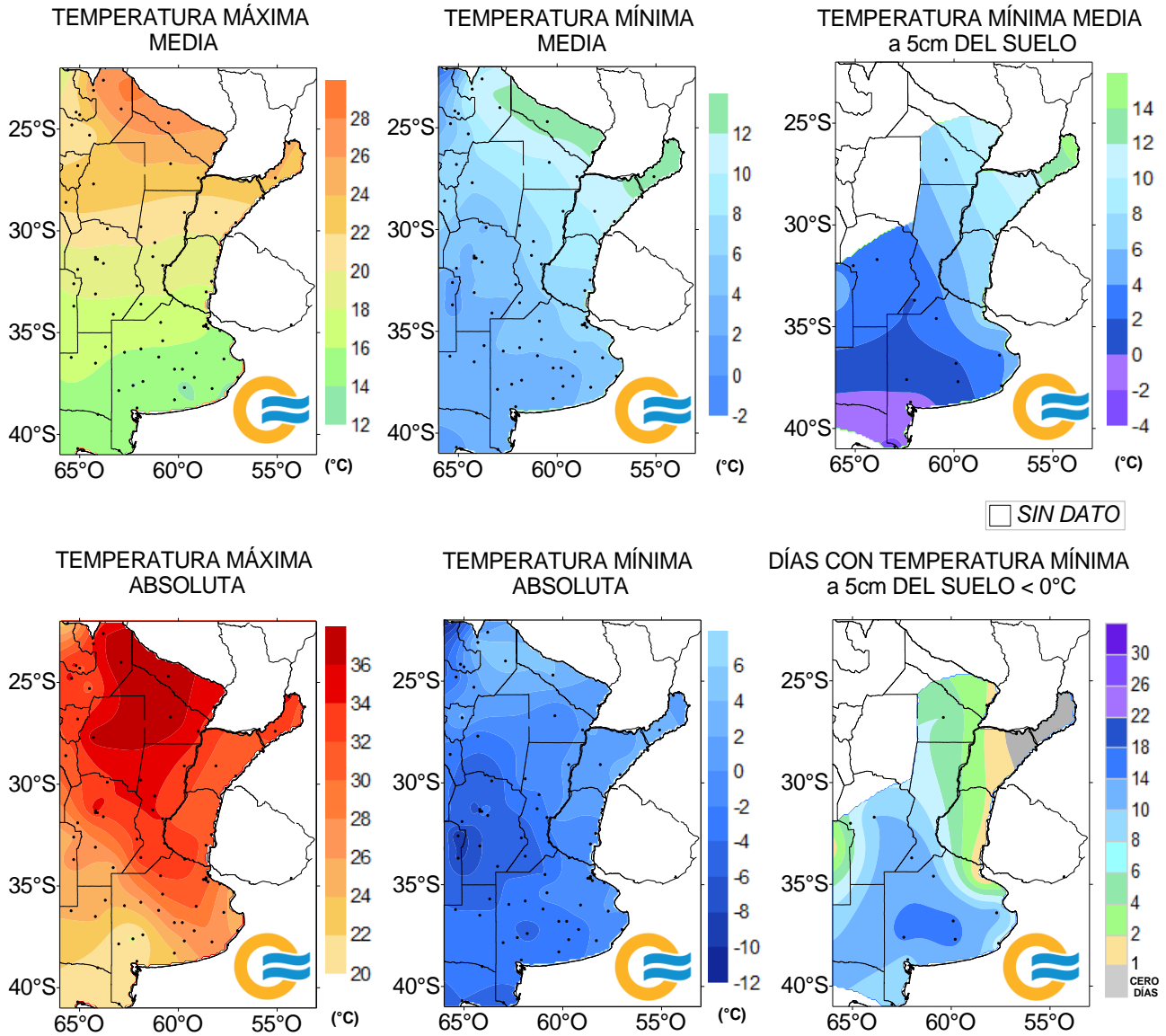
Base 10: temperatura base 10°C

SD: sin datos en septiembre 2024

Anguil: datos faltantes de julio a septiembre 2024

2.6 MAPAS DE TEMPERATURA

SEPTIEMBRE 2024



3. INFORME DE PRECIPITACIÓN

En las siguientes tablas y mapas se muestran los valores de precipitación de las distintas décadas del mes de septiembre de 2024.

3.1 PRIMERA DÉCADA

Las precipitaciones fueron escasas en gran parte del territorio, siendo inferiores al promedio 1991-2020 en Cuyo, centro y noreste del país, y en algunos sectores de la región patagónica.

De acuerdo a los escasos acumulados pluviométricos, se produjeron secamientos de los suelos en una amplia parte de región de secano, donde a pesar de esto, en el centro y este de Buenos Aires, las condiciones hídricas de los suelos van de buenas a óptimas.

DÉCADA 1 SEPTIEMBRE 2024

ESTACIONES METEOROLÓGICAS		PRECIPITACIÓN				
Localidad	Provincia	PD	DN	DLLu	MAX	DIA
Azul	Buenos Aires	2.0	-22.2	1	2.0	10
Bahia Blanca	Buenos Aires	7.0	-9.7	2	5.0	10
Balcarce	Buenos Aires	0.0	-21.0	0	-	-
Bolívar	Buenos Aires	0.2	-22.9	0	-	-
Bordenave	Buenos Aires	0.0	-18.0	0	-	-
Castelar	Buenos Aires	0.0	-29.4	0	-	-
Coronel Suarez	Buenos Aires	18.0	-2.1	2	12.0	10
Ezeiza	Buenos Aires	0.0	-26.3	0	-	-
Junín	Buenos Aires	0.0	-20.6	0	-	-
La Plata	Buenos Aires	0.2	-30.6	0	-	-
Las Flores	Buenos Aires	0.0	-26.8	0	-	-
Mar Del Plata	Buenos Aires	3.0	-19.6	1	3.0	10
Nueve de Julio	Buenos Aires	0.0	-22.7	0	-	-
Pehuajó	Buenos Aires	0.0	-16.4	0	-	-
Pigüé	Buenos Aires	10.0	-13.2	2	7.0	9
San Pedro	Buenos Aires	0.0	-21.5	0	-	-
Tandil	Buenos Aires	3.1	-18.3	1	3.0	10
Tres Arroyos	Buenos Aires	8.0	-11.3	2	5.0	9
Laboulaye	Córdoba	0.6	-12.7	0	-	-
Marcos Juárez	Córdoba	0.0	-19.1	0	-	-
Pilar	Córdoba	0.0	-9.2	0	-	-
Río Cuarto	Córdoba	0.0	-9.6	0	-	-
Concepción del Uruguay	Entre Ríos	1.3	-27.7	0	-	-
Concordia	Entre Ríos	0.0	-38.7	0	-	-
Gualeguaychú	Entre Ríos	0.7	-35.4	0	-	-
Paraná	Entre Ríos	0.0	-26.0	0	-	-
General Pico	La Pampa	0.0	-16.7	0	-	-
Santa Rosa	La Pampa	6.0	-8.1	1	6.0	9
Ceres	Santa Fe	0.0	-10.9	0	-	-
Reconquista	Santa Fe	0.3	-12.3	0	-	-
Rosario	Santa Fe	0.0	-18.2	0	-	-

3.2 SEGUNDA DÉCADA

Durante los primeros días de esta segunda década de septiembre un frente quedó estacionado en el norte de la región del Litoral con precipitaciones de baja intensidad asociadas. Sin embargo, los principales valores de precipitación se registraron hacia el final del período analizado, a partir de un frente frío que se desplazó desde el noreste de la Patagonia y sur de la provincia de Buenos Aires hacia el noreste del país. Los mayores registros de precipitación se observaron en Oberá (63 mm), Posadas (70.6 mm), Ituzaingó (35 mm), Río Colorado (38 mm), Pigüé (26 mm), Viedma (22 mm), Bahía Blanca (24 mm), El Palomar y Ezeiza (con 21 mm en ambos casos), Tres Arroyos y Coronel Suárez (con 20 mm acumulados en ambas estaciones) y Azul y Benito Juárez (con 19 mm registrados en ambas localidades). Asimismo, se observaron eventos de nevadas en la zona cordillerana del sur de Neuquén y Río Negro al final de la década. En el oeste de la región central del país y en el noroeste predominaron las altas presiones las cuales dieron lugar a buenas condiciones de tiempo.

Las recargas de agua dentro del suelo resultaron muy puntuales, en respuesta a las escasas precipitaciones registradas en el noreste de la Patagonia, sur de la provincia de Buenos Aires y en el extremo norte de la región del Litoral. Sin embargo, las condiciones de humedad se mantienen de regulares a óptimas en la provincia de Buenos Aires y presentan excesos leves a moderados en la provincia de Misiones. En el sur de la Mesopotamia, en la zona núcleo y en el oeste de la franja central del país se observó un descenso de la humedad almacenada en el perfil edáfico, acentuando las condiciones de sequía, según el modelo de balance hídrico analizado.

DÉCADA 2 SEPTIEMBRE 2024

ESTACIONES METEOROLÓGICAS		PRECIPITACIÓN				
Localidad	Provincia	PD	DN	DLLu	MAX	DIA
Azul	Buenos Aires	19.0	3.1	1	19.0	19
Bahia Blanca	Buenos Aires	24.0	12.6	2	20.0	19
Balcarce	Buenos Aires	0.0	-14.5	0	-	-
Bolívar	Buenos Aires	11.0	-4.6	1	10.0	19
Bordenave	Buenos Aires	0.0	-15.6	0	-	-
Castelar	Buenos Aires	15.8	-1.9	1	15.8	19
Coronel Suarez	Buenos Aires	20.0	11.4	2	18.0	19
Ezeiza	Buenos Aires	21.0	0.9	1	21.0	19
Junín	Buenos Aires	0.0	-14.0	0	-	-
La Plata	Buenos Aires	16.0	-3.3	1	16.0	19
Las Flores	Buenos Aires	14.0	-5.7	1	14.0	19
Mar Del Plata	Buenos Aires	8.0	-11.4	1	8.0	19
Nueve de Julio	Buenos Aires	5.0	-10.5	1	5.0	19
Pehuajó	Buenos Aires	0.1	-13.1	0	-	-
Pigüé	Buenos Aires	26.0	14.4	2	20.0	18
San Pedro	Buenos Aires	2.5	-14.8	1	2.5	19
Tandil	Buenos Aires	12.0	-3.6	1	12.0	19
Tres Arroyos	Buenos Aires	20.0	7.9	1	20.0	19
Laboulaye	Córdoba	0.0	-9.4	0	-	-
Marcos Juárez	Córdoba	0.0	-8.1	0	-	-
Pilar	Córdoba	0.0	-7.2	0	-	-
Río Cuarto	Córdoba	0.0	-7.8	0	-	-
Concepción del Uruguay	Entre Ríos	17.3	-4.2	1	17.3	11
Concordia	Entre Ríos	9.1	-13.9	1	9.0	19
Galeguaychú	Entre Ríos	7.0	-15.1	1	7.0	19
Paraná	Entre Ríos	0.0	-14.4	0	-	-
General Pico	La Pampa	4.0	-5.7	1	4.0	18
Santa Rosa	La Pampa	4.0	-7.2	1	4.0	18
Ceres	Santa Fe	0.0	-7.7	0	-	-
Reconquista	Santa Fe	1.0	-11.7	0	-	-
Rosario	Santa Fe	0.0	-12.3	0	-	-

3.3 TERCERA DÉCADA

Las precipitaciones fueron más bien escasas, inferiores a lo normal en el centro del territorio y en Misiones, superiores en la zona cordillerana del Comahue y en el sudeste del Litoral, y cercanas a la normalidad en el resto del país. El patrón de anomalías de la frecuencia de días con precipitación fue muy similar al de las anomalías de los montos acumulados. En este periodo sólo hubo recargas en el sudeste del Litoral y la cordillera del sur de Neuquén, Río Negro y norte de Chubut.

La pérdida de humedad en el suelo se potenció por las temperaturas y los vientos que se registraron de forma generalizada, dejando almacenajes de regulares a óptimos restringidos a la franja extrema del este del Litoral, el centro, este y sur de Buenos Aires, parte del sur patagónico, y excesos en la región cordillerana del Comahue.

DÉCADA 3 SEPTIEMBRE 2024

ESTACIONES METEOROLÓGICAS		PRECIPITACIÓN				
Localidad	Provincia	PD	DN	DLLu	MAX	DIA
Azul	Buenos Aires	0.8	-26.7	0	-	-
Bahia Blanca	Buenos Aires	8.4	-8.4	2	5.0	24
Balcarce	Buenos Aires	0.0	-24.2	0	-	-
Bolívar	Buenos Aires	1.0	-26.3	0	-	-
Bordenave	Buenos Aires	0.0	-22.0	0	-	-
Castelar	Buenos Aires	0.2	-18.5	0	-	-
Coronel Suarez	Buenos Aires	25.0	1.9	2	21.0	21
Ezeiza	Buenos Aires	1.0	-18.0	0	-	-
Junín	Buenos Aires	0.0	-25.7	0	-	-
La Plata	Buenos Aires	3.5	-17.8	1	3.5	30
Las Flores	Buenos Aires	0.0	-19.2	0	-	-
Mar Del Plata	Buenos Aires	21.0	-0.1	4	14.0	30
Nueve de Julio	Buenos Aires	0.0	-25.5	0	-	-
Pehuajó	Buenos Aires	0.0	-26.1	0	-	-
Pigüé	Buenos Aires	4.0	-20.8	2	2.0	21
San Pedro	Buenos Aires	0.3	-14.9	0	-	-
Tandil	Buenos Aires	5.5	-16.1	1	5.0	29
Tres Arroyos	Buenos Aires	36.1	12.6	2	20.0	29
Laboulaye	Córdoba	0.0	-25.7	0	-	-
Marcos Juárez	Córdoba	0.0	-15.0	0	-	-
Pilar	Córdoba	0.0	-11.7	0	-	-
Río Cuarto	Córdoba	0.0	-17.6	0	-	-
Concepción del Uruguay	Entre Ríos	25.8	9.1	3	11.0	22
Concordia	Entre Ríos	96.2	68.3	4	34.0	30
Galeguaychú	Entre Ríos	5.0	-15.4	1	5.0	30
Paraná	Entre Ríos	0.3	-13.4	0	-	-
General Pico	La Pampa	0.7	-21.7	0	-	-
Santa Rosa	La Pampa	3.0	-21.3	1	3.0	21
Ceres	Santa Fe	0.0	-12.6	0	-	-
Reconquista	Santa Fe	28.0	7.8	2	24.0	25
Rosario	Santa Fe	0.0	-17.5	0	-	-

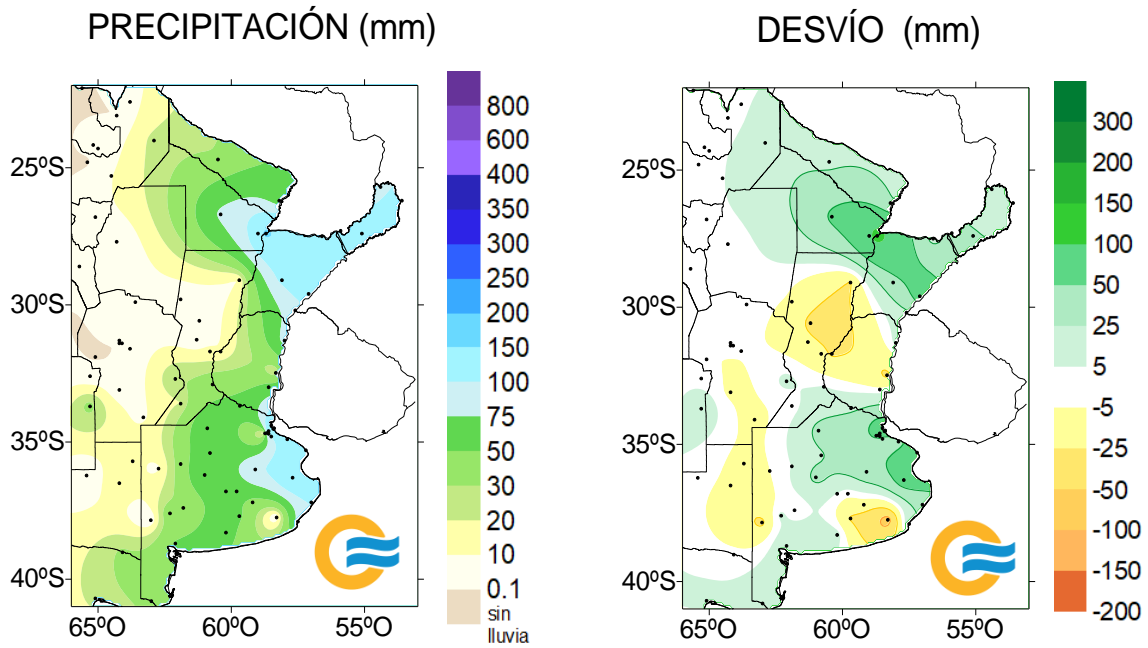
[Referencias correspondientes a las tablas de precipitación por década.](#)

PD: precipitación (mm) total de la década
DN: desvío de la precipitación (mm) promedio 1991-2020
MAX: precipitación máxima (mm) registrada en 24 horas

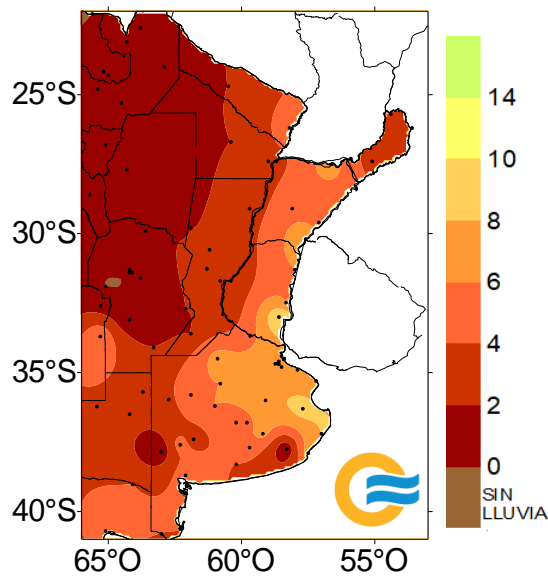
Dllu: días con precipitación > 1 mm
DN: desvío del promedio
DÍA: fecha en que se observó la precipitación máxima diaria

3.4 MAPAS DE PRECIPITACIÓN

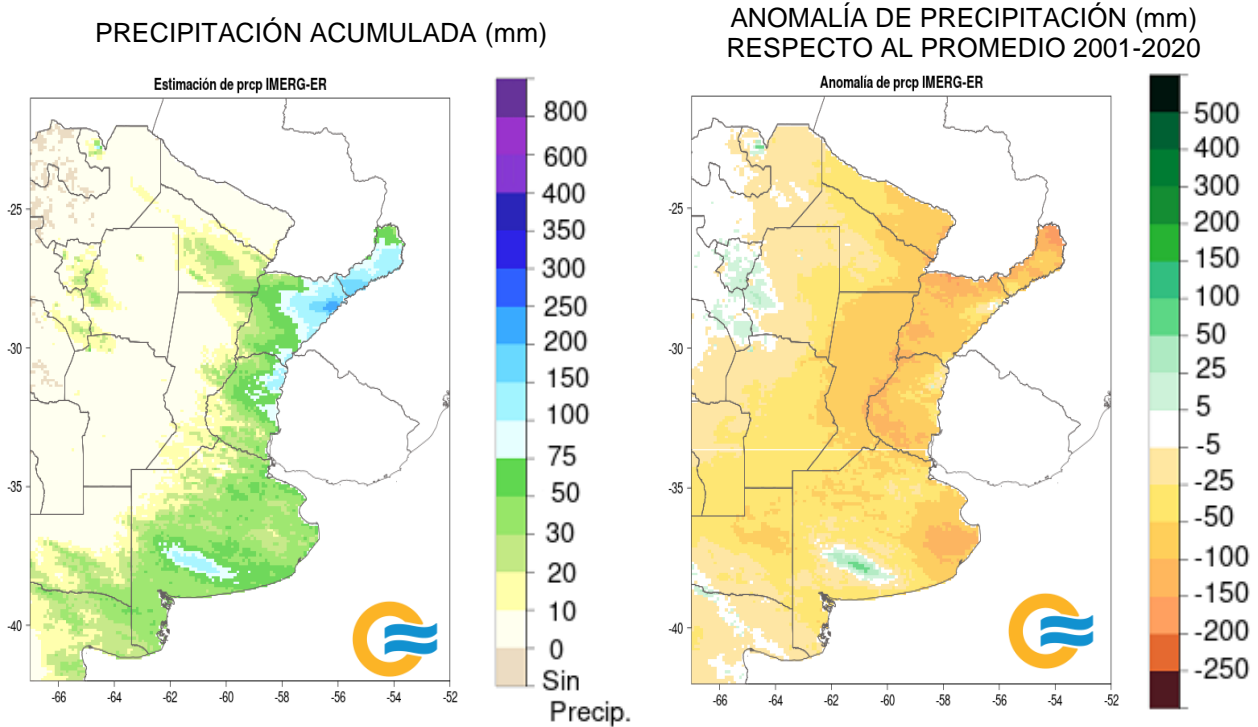
SEPTIEMBRE 2024



DÍAS CON PRECIPITACIÓN



PRECIPITACIÓN ESTIMADA CON SENSORES REMOTOS - IMERG_ER SEPTIEMBRE 2024



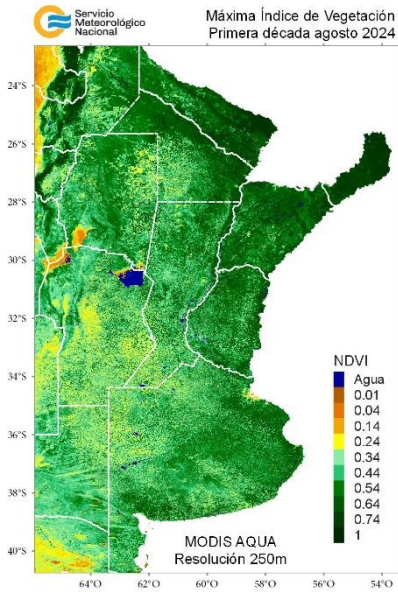
4. ÍNDICES SALTELITALES

4.1. ÍNDICE NORMALIZADO DE VEGETACIÓN

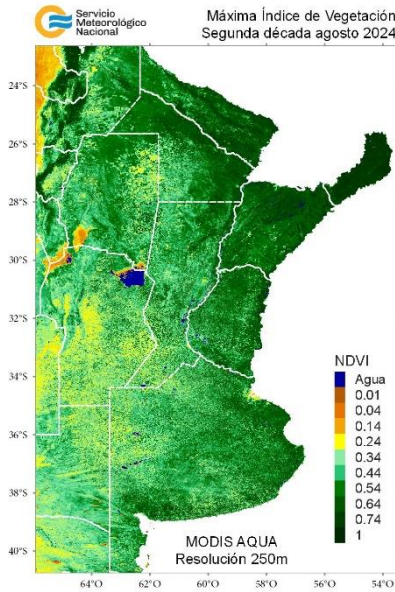
A continuación se muestran los campos de índice NDVI (índice Normalizado de Vegetación) máximo para cada década de agosto y septiembre de 2024. Este índice se encuentra estrechamente relacionado con el desarrollo de la vegetación y las condiciones climáticas. Con el avance de las décadas se nota un aumento de la actividad fotosintética, en parte asociado al estado fenológico del trigo y la cebada y a al comienzo de la siembra de los cultivos de verano.

AGOSTO 2024

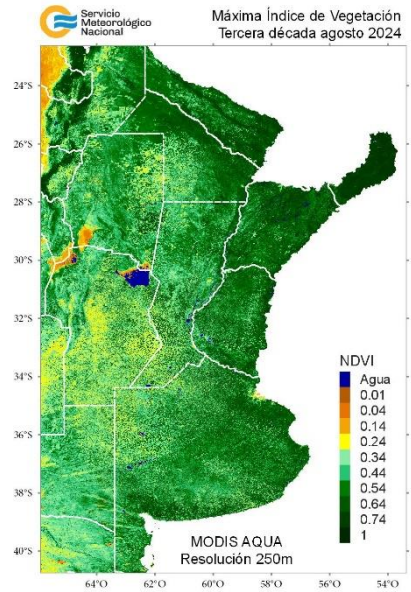
DÉCADA 1



DÉCADA 2

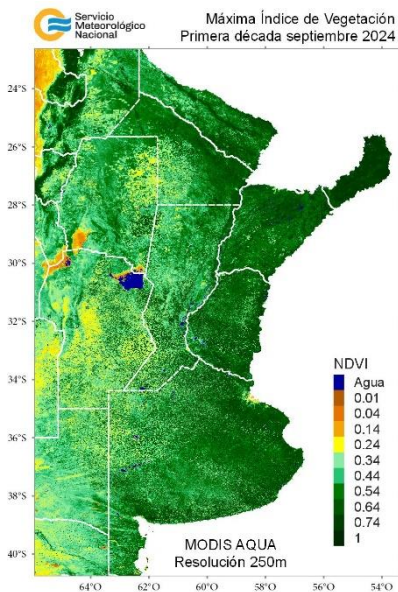


DÉCADA 3

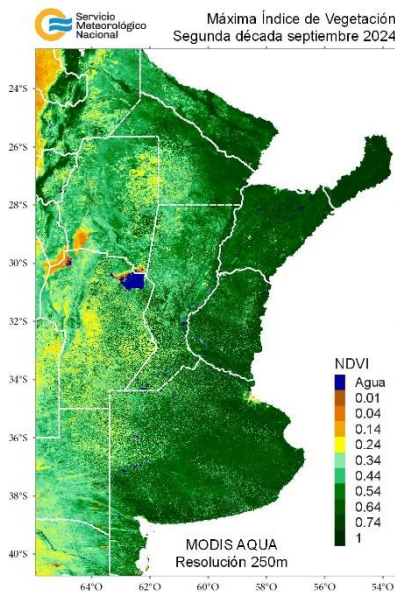


SEPTIEMBRE 2024

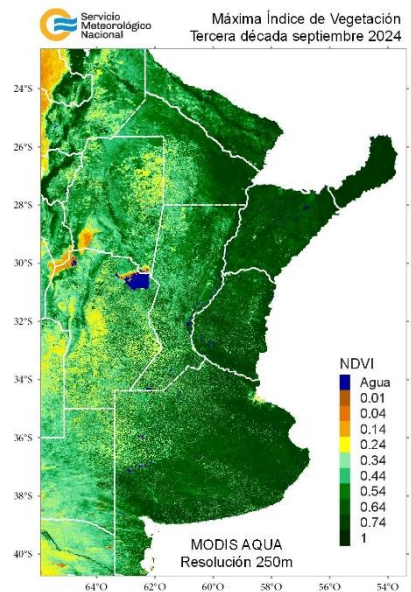
DÉCADA 1



DÉCADA 2



DÉCADA 3



4.2. ANOMALÍA DEL ÍNDICE NORMALIZADO DE VEGETACIÓN

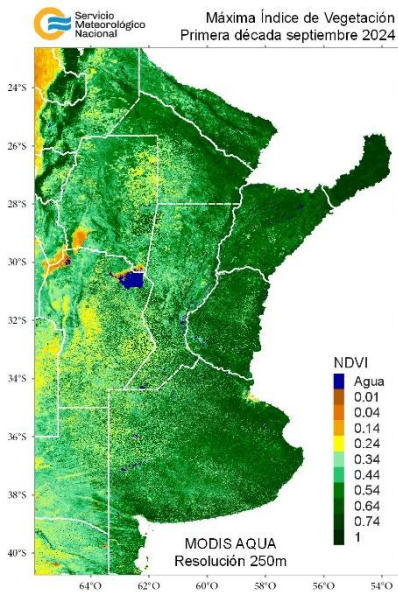
En los siguientes mapas se presenta los campos de índice NDVI (índice Normalizado de Vegetación) máximo para cada década de septiembre de 2024 y su anomalía respecto al promedio 2003-2023 (período de referencia). El mapa de anomalía del índice de vegetación es la resultante de la diferencia entre las décadas del mes actual finalizado y el periodo de referencia.

Los tonos marrones corresponden a un índice de vegetación menor con respecto al periodo de referencia, los tonos verdes corresponden a un índice de vegetación mayor con respecto al periodo de referencia y el blanco que se mantienen iguales o muy poca variación respecto al periodo de referencia.

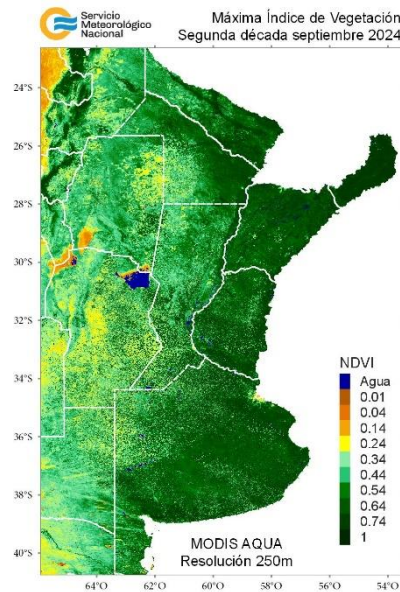
En la mayoría de la zona de cultivos de secano la anomalía es positiva respecto a los 20 años previos, siendo más marcada en la última década.

SEPTIEMBRE 2024

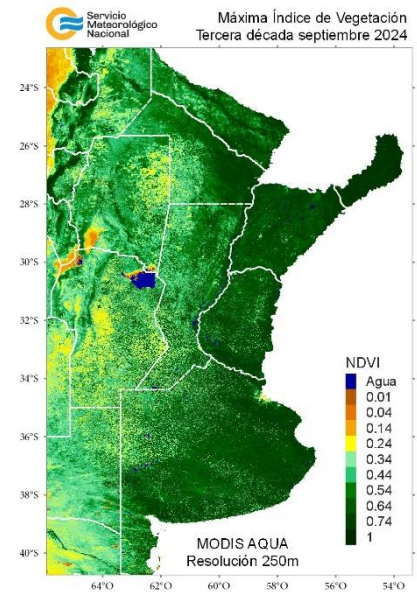
DÉCADA 1



DÉCADA 2

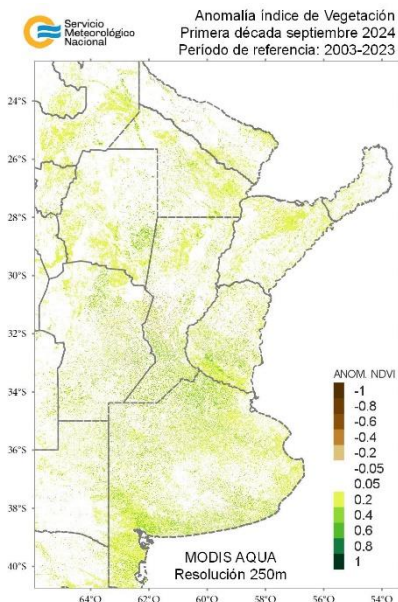


DÉCADA 3

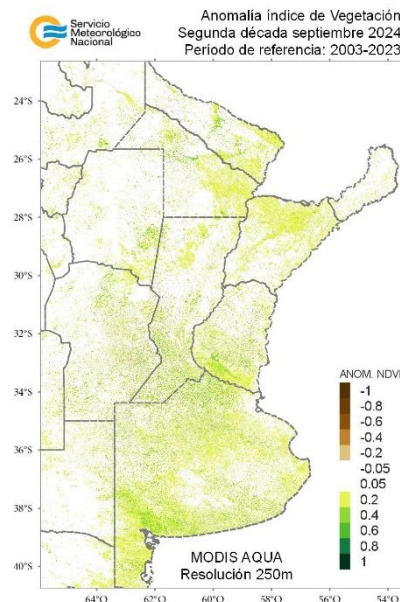


ANOMALÍA SEPTIEMBRE 2003-2023

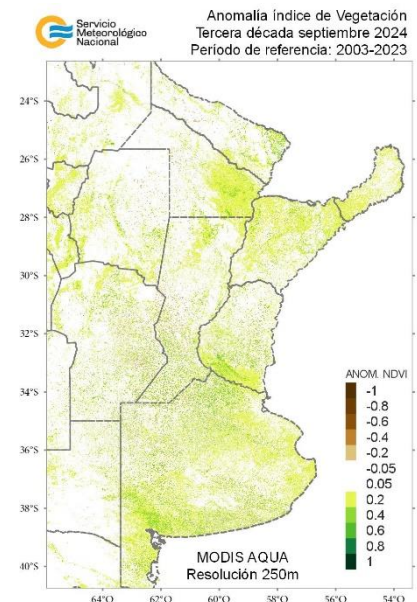
DÉCADA 1



DÉCADA 2



DÉCADA 3



4.3. HUMEDAD DEL SUELO

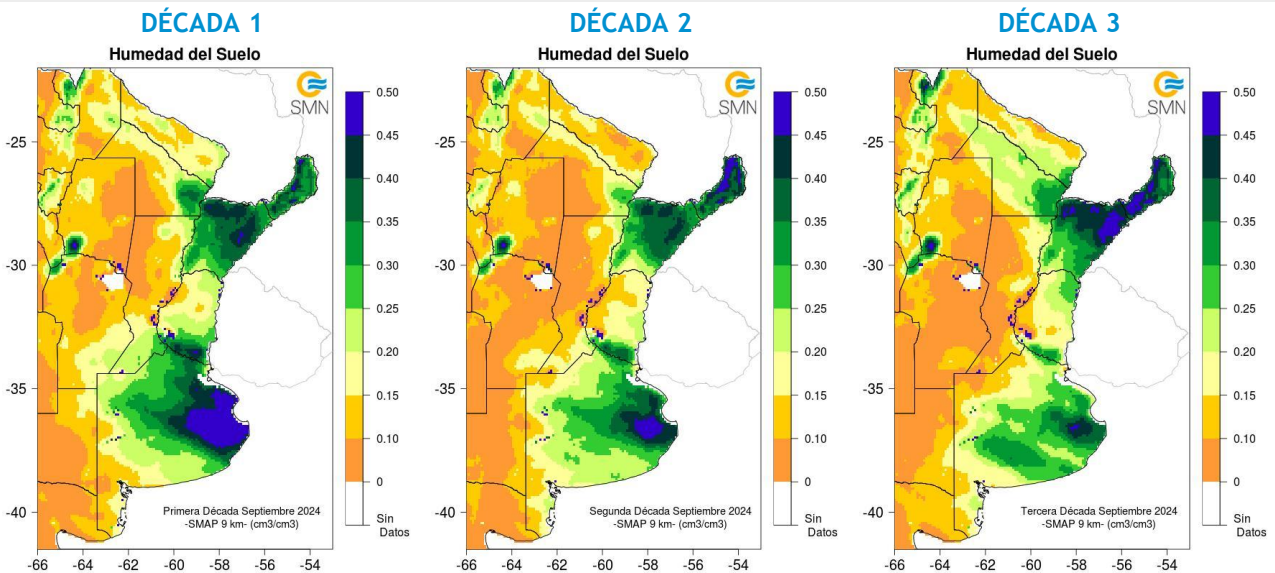
Los mapas de humedad del suelo son promedios decádicos (10 días), realizado a partir de la información satelital proveniente del sensor de Humedad del Suelo Activo Pasivo (SMAP, por sus siglas en inglés). Una misión de la NASA que tiene por objetivo estimar la humedad del suelo, a una profundidad de 5 cm.

Los valores de la estimación son una representación de la humedad volumétrica del suelo (m³/m³), es decir, la relación entre el volumen de agua y el volumen total del suelo (considerando la fase sólida, líquida y gaseosa presente en el suelo).

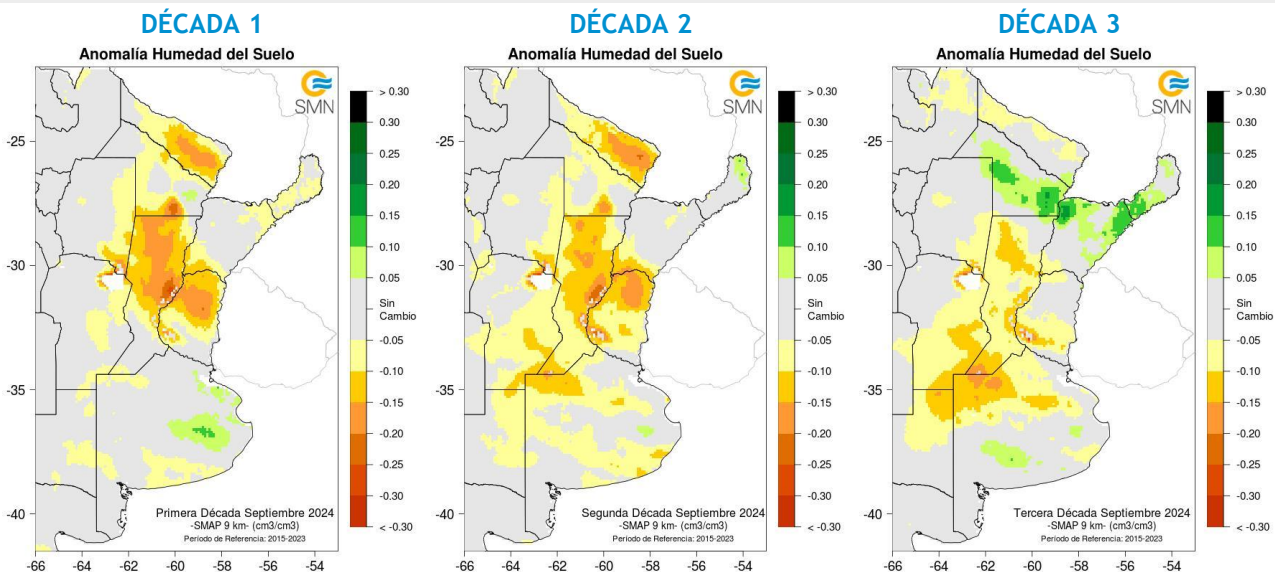
Con el objetivo de conocer las tendencias en el comportamiento de la humedad del suelo para el periodo actual, se realiza el cálculo de las diferencias entre el periodo 2024 respecto al periodo 2015-2023, para cada década.

Las zonas que se encuentran con buena humedad son aquellas que recibieron abundantes precipitaciones, en la última década incluso llega a superar al promedio 2015-2022.

SEPTIEMBRE 2024 HUMEDAD DEL SUELO



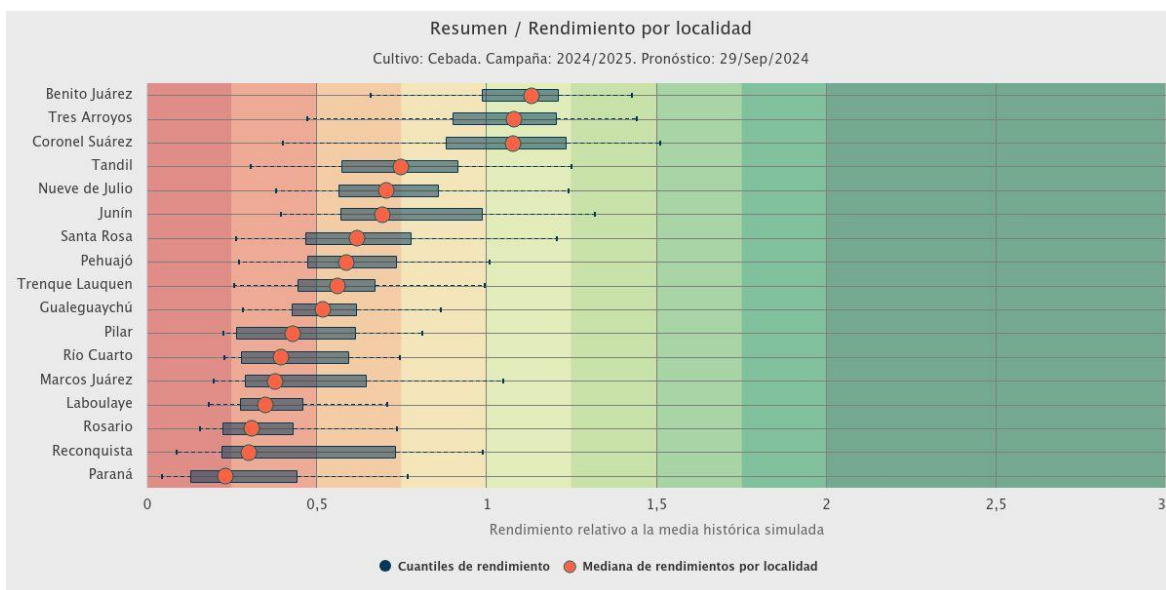
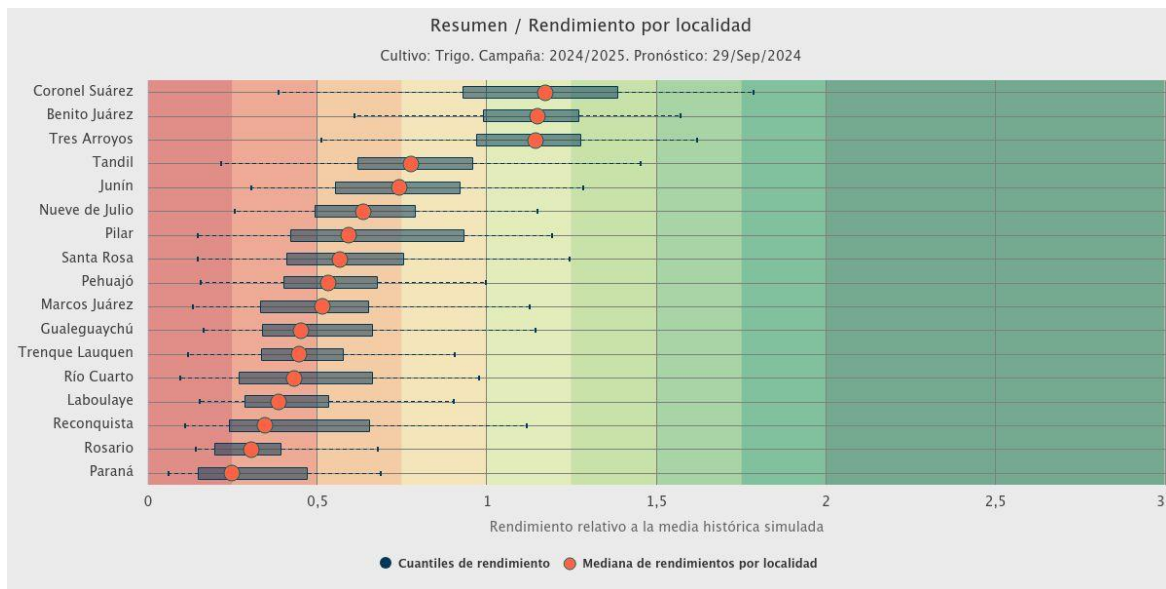
ANOMALÍA DE LA HUMEDAD DEL SUELO



5. PRONÓSTICOS DE RENDIMIENTOS SIMULADOS - ProRindes

ProRindes es una herramienta para estimar el rendimiento de soja, maíz, trigo y cebada en varias localidades de la región Pampeana y a lo largo de toda una campaña agrícola. En este momento del año se simula el rendimiento de trigo y cebada. En este boletín se presenta el pronóstico obtenido el día 29/12/2024 (se puede ver la actualización semanal en: <https://prorindes.smn.gob.ar/>).

En las figuras a continuación se muestra el pronóstico de rendimiento por localidad para el trigo y la cebada en formato de box plot, relativo al valor medio histórico simulado. Ambos cultivos presentan las mejores perspectivas de rindes en las localidades ubicadas en la región IV, favorecidos por las precipitaciones acaecidas. En el resto de las localidades simuladas se observa una disminución de los rendimientos potenciales debido a que los cultivos atravesaron gran parte de su ciclo ontogénico bajo condiciones secas.



DEFINICIÓN Y ABREVIATURA DE PARÁMETROS EMPLEADOS

TEMPERATURA

Máxima media (MED): promedio de las temperaturas máximas diarias en la década considerada.

Máxima absoluta (ABS): temperatura máxima más alta registrada en la década considerada.

Día: día de ocurrencia de la temperatura máxima o mínima absoluta.

Mínima media (MED): promedio de las temperaturas mínimas en la década considerada.

Mínima absoluta (ABS): temperatura mínima más baja registrada la década considerada.

Media (MED): promedio de las temperaturas medias diarias en la década considerada. La temperatura media diaria es el resultado de la semisuma de la temperatura máxima y mínima del día.

Días con heladas: cantidad de días en que la temperatura mínima absoluta fue inferior o igual a 2°C.

Desvío (DN): diferencia (°C) entre el valor de la temperatura media actual y el valor medio de la distribución histórica.

GRADOS DIAS

Estimación de la energía que una planta tiene a su disposición cada día, que le permite su crecimiento y desarrollo.

GD: Temperatura media diaria - Temperatura base

Temperatura base: es la temperatura por debajo de la cual la planta cesa su actividad.

PRECIPITACIONES

Precipitación total (PD): cantidad total de precipitaciones ocurridas en el período considerado.

Desvío del promedio (DN): diferencia (mm) entre el valor de la precipitación registrada en la década y el valor medio de la distribución histórica, para el lapso considerado (década).

Máxima (MAX): precipitación máxima acumulada en 24 horas dentro de la década considerada.

PRECIPITACIÓN ESTIMADA IMERG_ER

Precipitación estimada con información provista a partir de la constelación de satélites de la Global Precipitation Measurement (GPM) de la NASA.

Se utiliza el producto IMERG_er (Integrated Multi-satellitE Retrievals for GPM_early run) el cual es generado a partir del uso del algoritmo unificado de Estados Unidos que combina información de microondas pasivas de diversos sensores a bordo de la constelación de satélites GPM de la NASA.

El objetivo del algoritmo es intercomparar, combinar e interpolar todas las estimaciones de precipitación satelitales basadas en microondas, junto con aquellas derivadas a partir de datos calibrados con microondas e infrarrojo, información de precipitación observada en superficie y estimaciones provenientes de otras misiones satelitales.

Las características básicas son: resolución espacial: 0.1° x 0.1°; resolución temporal: 30 minutos; dominio global: 90°N – 90°S; disponibilidad desde el 01 de abril de 2015.

Las **anomalías de la precipitación estimada** por satélite representan el desvío del valor de precipitación acumulada respecto a un valor de referencia histórico. El valor de referencia está calculado estadísticamente para el período 2001-2020. Valores positivos de anomalías representan lluvias que superan este valor de referencia.

Más información:

<https://gpm.nasa.gov/data/directory>

NDVI (índice de vegetación normalizado)

Representa la cantidad y el vigor de la vegetación (actividad fotosintética). El NDVI está estrechamente relacionado con el tipo de vegetación y las condiciones climáticas. Los tonos marrón y verde representan la gradación de la vegetación, de escasa/débil a densa/vigorosa.

Las series temporales de NDVI, muestran la tendencia del desarrollo de la vegetación natural y de los cultivos.

Se obtiene a partir del cálculo de los máximos valores de una composición de 10 días, utilizando imágenes del sensor MODIS a bordo de la plataforma satelital Aqua con una resolución espacial de 250 metros.

La **anomalía del índice de vegetación** es la resultante de la diferencia entre las décadas del mes actual y el promedio del periodo 2003-2023 para cada década específica del mismo mes de análisis.

HUMEDAD DEL SUELO

Se obtiene del sensor de Humedad del Suelo Activo Pasivo (SMAP, por sus siglas en inglés). Una misión de la NASA que tiene por objetivo estimar la humedad del suelo, a una profundidad de 5 cm, a partir de un radiómetro de microondas en banda L (1.41 GHz).

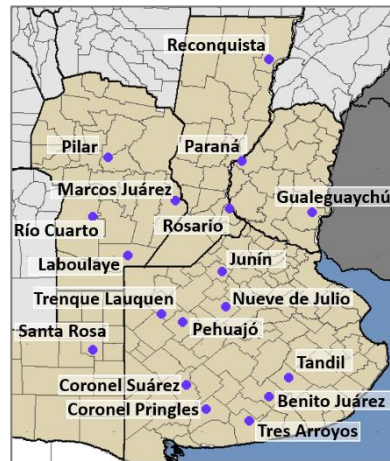
La resolución temporal del satélite es de 3 días, por lo que se obtiene un mapa integrado para la región Argentina con dicha frecuencia, tanto para las pasadas descendentes (6 am – hora local), como las ascendentes (6 pm – hora local). De esta forma, si los datos son óptimos se consideran, para el promedio decádico, 6 imágenes para cada década (3 ascendentes y 3 descendentes). Los valores de la estimación, son una representación de la humedad volumétrica del suelo (m³/m³), es decir, la relación entre el volumen de agua y el volumen total del suelo (considerando la fase sólida, líquida y gaseosa presente en el suelo).

La **anomalía de humedad del suelo** es calculada como la diferencia entre la década de interés correspondiente al año 2023, respecto al promedio 2015- 2022, para cada década específica.

Más información: <https://smap.jpl.nasa.gov/>

PRORINDES

Es una herramienta para anticipar el rendimiento de soja, maíz, trigo y cebada a lo largo de toda una campaña agrícola y para las siguientes localidades de la región Pampeana:



Los pronósticos de rendimiento se basan en modelos computacionales que simulan el crecimiento y desarrollo de cada cultivo. Los modelos requieren datos sobre el manejo agronómico del cultivo simulado, suelos, y datos climáticos.

Los pronósticos de ProRindes se realizan para los suelos más representativos de cada zona, y para un par de manejos agronómicos típicos en cada lugar.

El pronóstico se actualiza semanalmente en: <https://prorindes.smn.gob.ar/>

Los valores presentados en el gráfico **BoxPlot** se calculan de la siguiente manera: los rendimientos simulados en una determinada fecha de pronóstico para cada tipo de suelo, manejo agronómico y localidad se dividen por el rendimiento histórico medio correspondiente a esa situación. Luego, se calcula el valor central (mediana) de los rendimientos relativos para el conjunto de tipos de suelos y manejos agronómicos simulados en la localidad.

Las cajas de los cuantiles de rendimiento representan la distribución de rendimientos relativos para el conjunto de tipos de suelos y manejos agronómicos simulados para cada localidad. Los extremos de cada caja corresponden a los cuantiles 25 (extremo izquierdo) y 75 (extremo derecho). Las líneas punteadas llegan a los valores de los cuantiles 5 (izquierda) y 95 (derecha). Dentro de cada localidad, se asume que cada suelo y manejo aparece con la misma frecuencia.

ANEXO: INFORME TÉCNICO SOBRE LA HERRAMIENTA PRORINDES (JULIO 2022)

FUNCIONAMIENTO Y OPERACIÓN DE LA HERRAMIENTA PRONÓSTICO DE RINDES SIMULADOS (ProRindeS) EN EL SERVICIO METEOROLÓGICO NACIONAL E INVESTIGACIONES EFECTUADAS POR EL SECTOR ACADÉMICO DEL DEPARTAMENTO DE CIENCIAS DE LA ATMÓSFERA Y LOS OCÉANOS DE LA UNIVERSIDAD DE BUENOS AIRES.

María Gabriela Marcora¹, Ferreira Lorena¹, Olga Penalba², Federico Stainoh^{2,3}, Vanesa Pántano²

¹ Dirección de Servicios Sectoriales. Dirección Nacional de Pronóstico y Servicios para la Sociedad. Servicio Meteorológico Nacional. ² Departamento de Ciencias de la Atmósfera y los Océanos. FCEyN-UBA. CONICET.

³ Institut für Meteorologie und Klimaforschung - Department Troposphärenforschung. Alemania.

Introducción

En el contexto del constante aumento de la población mundial, existe una demanda creciente en la provisión de materias primas en la industria alimentaria. Argentina es uno de los principales países proveedores de materias primas agrícolas, no solo para el mercado local sino también en el mercado de las exportaciones, y la mayor producción de las mismas se encuentra ubicada en la Región Pampeana. Por otro lado, el Marco Mundial para los Servicios Climáticos (MMSC) promueve que los Servicios Meteorológicos Nacionales (SMN) brinden sus servicios de información meteorológica y climática y sus capacidades en investigación, modelización y predicción, para el desarrollo de herramientas en determinadas áreas de interés como la agricultura y seguridad alimentaria entre otras. En este contexto internacional de MMSC y del nacional mencionado al inicio, es que el SMN acompañó el desarrollo de la herramienta ProRindeS que permite pronosticar el rendimiento de los cultivos a lo largo de una campaña agrícola. ProRindeS (Pronóstico de Rindes Simulados) pretende anticipar el rendimiento de soja (de siembra temprana y tardía), maíz (de siembra temprana y tardía), trigo y cebada en varias localidades de la región pampeana argentina, y a lo largo de toda una campaña agrícola.

La herramienta fue desarrollada mediante una colaboración entre el SMN, la Asociación Argentina de Consorcios Regionales de Experimentación Agrícola (AACREA), la Facultad de Agronomía de la Universidad de Buenos Aires (FAUBA), y la Escuela Rosenstiel de Ciencias Marinas y Atmosféricas de la Universidad de Miami, Estados Unidos de Norteamérica (RSMAS, por sus siglas en inglés). Varios proyectos de investigación realizados en los últimos años han aportado los conceptos y herramientas que se debieron integrar para implementar el sistema ProRindeS. Los diferentes proyectos fueron financiados por el Banco Interamericano de Desarrollo (BID), el Instituto Interamericano para el Estudio del Cambio Global (IAI), y la Fundación Nacional de Ciencias de los Estados Unidos (NSF, por sus siglas en inglés).

ProRindeS fue originalmente desarrollado como prueba de concepto financiada por los proyectos de investigación ya mencionados. Sin embargo, a partir de la campaña gruesa 2018-2019 esta herramienta comenzó a funcionar operacionalmente, mantenida y administrada por un consorcio de tres entidades: el Servicio Meteorológico Nacional, el Ministerio de Agricultura, Ganadería y Pesca y la organización civil sin fines de lucro AACREA.

Los resultados de ProRindeS se pueden consultar en la página web <https://prorindes.smn.gob.ar/>. Si bien es una herramienta que está disponible para todos los usuarios, está destinada principalmente a los tomadores de decisiones del sector agrícola. La misma brindará soporte principalmente para establecer relaciones de mercado o cuestiones de logística y acopio en el sector. Las actualizaciones de los pronósticos se realizan una vez por semana y se pueden visualizar de manera inmediata en el sitio web.

Este documento presenta una *primera sección* con una recopilación de los aspectos técnicos, principales configuraciones, limitaciones (Rocha A. 2015; Bonhaure D. y Koda V. 2018) y el trabajo operativo que realiza actualmente el SMN con la herramienta de ProRindeS y una *segunda sección* con los resultados de investigaciones producto de la vinculación entre el SMN y el grupo de

investigación "Variabilidad climática de eventos extremos de precipitación. Impactos" del Departamento de Ciencias de la Atmósfera y los Océanos de la Facultad de Ciencias Exactas y Naturales de la Universidad de Buenos Aires.

1. Aspectos técnicos y operativos del sistema ProRindeS

1.1 Principales componentes del sistema ProRindeS

El sistema ProRindeS consta de un **módulo de simulación de cultivos**, un **módulo de suelo** y un **módulo de clima**.

Con respecto al **módulo de simulación de cultivos**, ProRindeS posee programas computacionales que simulan el crecimiento y desarrollo de los cultivos. Los modelos utilizados son los de la familia DSSAT (Decision Support System for Agrotechnology Transfer). En particular, se utilizan los modelos CERES Maize para simular maíz, trigo y cebada, y CropGro para simular soja. Ambos modelos han sido calibrados y validados en Argentina mediante múltiples comparaciones entre rindes simulados y observados. Para el conjunto de las situaciones evaluadas, el rinde medio simulado y su variabilidad no difirieron en más de 5% respecto a lo observado. Para cada situación específica (e.g. un lote) el error medio esperado es entre 15 y 20%. Se utiliza un genotipo representativo de los más usados en la zona. El genotipo se caracteriza a través de un conjunto de valores (coeficientes genéticos) que describen el desarrollo y crecimiento de la variedad o híbrido a simular.

Cada manejo agronómico supone, además, una fecha de siembra y la densidad lograda (es decir, número de plantas por metro cuadrado). La definición del manejo agronómico se completa con la fertilización nitrogenada. Para todos los cultivos se define un contenido inicial de Nitrógeno en el suelo (en la capa 0-60 cm) representativo de cada localidad y fecha de siembra. Para el maíz, además, se define una dosis de fertilización con Nitrógeno de manera de alcanzar el nivel total deseado (o sea, Nitrógeno del suelo más Nitrógeno aportado por fertilización) representativo de cada localidad y fecha de siembra.

Con respecto al **módulo de suelo**, ProRindeS tiene incorporado 2-3 suelos más comunes, de modo que los usuarios puedan seleccionar el suelo más semejante a sus propias condiciones. Para cada suelo en cada situación se define, el contenido inicial de Nitrógeno y de agua. El contenido inicial de agua se refiere a la recarga inicial de agua del perfil de suelo en relación a la capacidad total de almacenaje del suelo. Además la herramienta considera 3 niveles de recarga: bajo (20% de recarga), medio (50% de recarga) y alta (100% de recarga).

Con respecto al **módulo del clima**, ProRindeS necesita series de valores diarios para 4 variables climáticas: temperatura máxima, temperatura mínima, precipitación total y radiación solar total. Esta última es estimada a partir de datos de heliofanía. Estos datos se extraen de la base de datos del Centro Regional del Clima del Sur de América del Sur (CRC-SAS), que han pasado por pruebas estrictas de calidad y consistencia. Estas variables se miden en estaciones meteorológicas operadas por el Servicio Meteorológico Nacional (Figura 1)



Figura 1: Localidades argentinas en donde se realizan las simulaciones de ProRindeS.
(<https://prorindes.smn.gob.ar/>)

El modelo de simulación de cultivos que usa ProRindeS necesita como insumo series diarias de las 4 variables climáticas antes mencionadas. Las series deben cubrir desde el comienzo de las simulaciones (antes de la siembra) hasta el fin de ciclo o cosecha de cada cultivo. Para lograr esto, se construyen series climáticas diarias “híbridas” que combinan dos tipos de datos: (a) datos climáticos observados durante la campaña actual hasta el momento en que se emite un pronóstico, y (b) datos climáticos históricos para las fechas que van desde el pronóstico hasta el fin del ciclo.

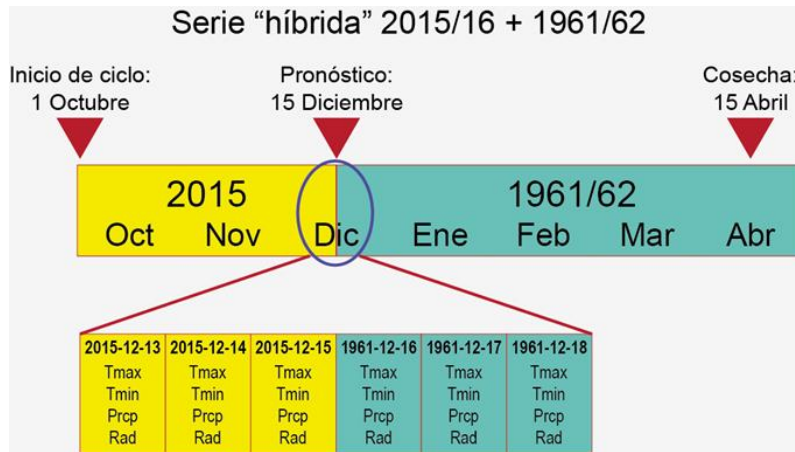


Figura 2: Construcción de una serie híbrida en base a datos observados y datos climáticos históricos. (<https://prorindes.smn.gob.ar/>)

En la Figura 2 se muestra un ejemplo de la construcción de una serie climática “híbrida” para un pronóstico hipotético de rendimiento realizado el 15 de diciembre de 2015. La primera parte de la serie incluye datos climáticos (temperaturas, lluvia, radiación) observados entre el 1 de octubre y el 15 de diciembre de 2015. Para poder simular rendimientos en diciembre 2015, la serie climática observada hasta el momento del pronóstico se completa con datos para 1961 (15-31 diciembre) y 1962 (1 enero – 30 abril). La transición o “empalme” entre las dos series se muestra en el detalle de la Figura 2. El uso de una sola serie climática híbrida resulta en un único valor pronosticado de rendimiento. En cambio, podemos usar varios años en el registro histórico para construir múltiples series híbridas y, por lo tanto, obtener múltiples rendimientos pronosticados. Por ejemplo, si el Servicio Meteorológico para Junín contiene datos para el período 1 de enero de 1961 al presente, se pueden construir 55 series híbridas que combinan las condiciones para 2015/16 (el comienzo de la serie) con cada uno de los 54 años históricos (para el resto de la serie).

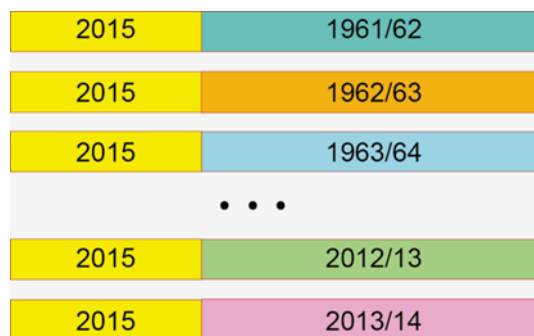


Figura 3: Múltiples series híbridas para una fecha de pronóstico determinada. (<https://prorindes.smn.gob.ar/>)

En la Figura 3 se muestra la construcción de múltiples series climáticas híbridas para un pronóstico de rendimiento emitido el 15 de diciembre de 2015. Cada una de las series combina datos observados para 2015/16 y series históricas 1961-2014 alimentan al sistema ProRindeS, lo que resulta en 54 rendimientos pronosticados que reflejan la incertidumbre en las condiciones climáticas posteriores al 15 de diciembre de 2015.

El uso de múltiples series climáticas como entrada para ProRindeS nos permite caracterizar la incertidumbre en los rendimientos que resulta del espectro de condiciones climáticas que pueden ocurrir a partir de la fecha de pronóstico. Típicamente, la variabilidad de los valores pronosticados disminuye a lo largo del ciclo, ya que en todas las “series híbridas” que se usan de entrada al modelo hay una mayor proporción de datos para la campaña actual.

Una vez que se obtienen los rendimientos simulados, se calcula el promedio de todas las campañas, y ese valor es el rendimiento de referencia. Los valores de referencia para cada combinación de condiciones (en kilogramos por hectárea) se pueden ver seleccionando “Rendimientos de Referencia” en el menú de ProRindeS. Los rendimientos en kg por hectárea simulados con series “híbridas” para cada combinación de condiciones se dividen por el rendimiento de referencia. Los rendimientos relativos mayores que 1 indican que los rendimientos pronosticados son superiores al rendimiento de referencia: por ejemplo, un rendimiento relativo de 1.50 es 50% mayor que el rendimiento de referencia. Los rendimientos relativos menores que 1 indican resultados por debajo del rendimiento de referencia.

Los **productos ProRindeS** obtenidos son evolución temporal de la mediana y los cuantiles de rendimiento por cultivo, por localidad, con diferentes tipos de suelo y manejo de los mismos (dentro de la misma campaña), distribución de probabilidades en relación a la media histórica de rendimientos simulados. El sistema de pronóstico de rendimiento se complementa con otras variables de salida de interés: precipitaciones acumuladas (observadas) y cuantiles históricos, desvíos de la precipitación observada respecto de la media histórica, evapotranspiración real acumulada (ETR), evapotranspiración potencial acumulada (ETP), agua disponible para el cultivo (en función de la Capacidad de Campo), Índice de estrés hídrico (en función de la ETP y la ET real diaria).

La Figura 4 muestra la evolución temporal de los rendimientos obtenidos con la herramienta ProRindes donde se puede observar la reducción de la incertidumbre en el pronóstico de rendimiento del maíz de siembra temprana para la localidad de Pilar, a medida que va transcurriendo la campaña agrícola. Esto se debe a que, con las sucesivas corridas de ProRindeS, la serie híbrida va incorporando mayor cantidad de valores climáticos observados (la situación “actual”) y menor cantidad de valores de base climatológica empleados como pronósticos. En este ejemplo se resalta que a partir de la corrida del 30 de enero la curva de evolución de los pronósticos se estabilizó, es decir que se logró simular el rinde final para este cultivo con dos meses de anticipación al fin de la campaña.

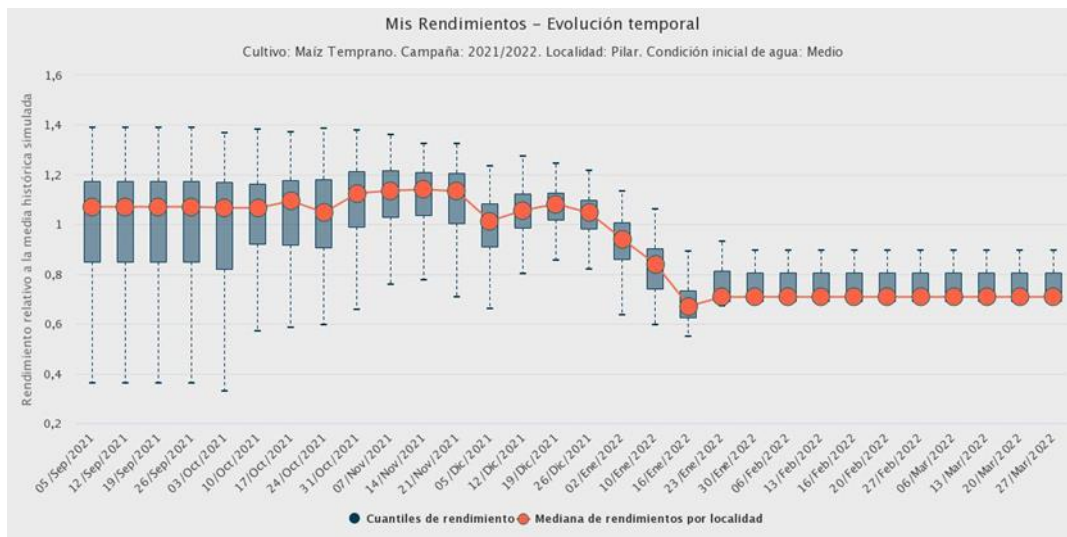


Figura 4: Evolución de los pronósticos de rendimiento para el maíz de siembra temprana en la localidad de Pilar, con una condición inicial de agua media y para los diferentes suelos tipificados en la localidad, durante la campaña agrícola 2021/2022.

El sistema ProRindeS se actualiza una vez por semana, indicando la fecha en que se inicializa la corrida, cuando los datos de clima del SMN se encuentran en la base de datos del CRC-SAS con los controles y validaciones correspondientes. Este proceso demora 48 hs aproximadamente, por lo que la fecha de inicio de las simulaciones en el “Backend” debe ser dos días previos a la fecha vigente. El maíz y la soja temprana se simulan entre los meses de septiembre y abril. Las variedades tardías de los mismos, entre los meses de diciembre y abril. El trigo y la cebada se simulan entre los meses de mayo y diciembre. Una vez realizadas las correspondientes simulaciones de los pronósticos de rendimientos los datos deben sincronizarse con el “Frontend” para poder ser visualizados en la página web que está disponible para los usuarios (<https://prorindes.smn.gob.ar/>). Asimismo, como servicio al usuario y en el caso de resultado destacado, se realiza una publicación en las redes sociales de ProRindeS y del SMN donde se incluyen figuras y un texto explicativo.

1.2 Validaciones y limitaciones

Según la documentación provista en <https://prorindes.smn.gob.ar/> se realizaron **validaciones** para el esquema propuesto por la herramienta ProRindeS para los cultivos de soja y maíz a lo largo de siete campañas agrícolas (desde 2005/06 hasta 2011/12) en dos localidades de referencia: Junín (Buenos Aires) y Pilar (Córdoba). Los resultados obtenidos mostraron que la variación de los pronósticos de rendimientos está determinada principalmente por la evolución de las condiciones climáticas, en particular de la variable precipitación. En consecuencia, la incertidumbre en los pronósticos se reduce a medida que se van incorporando datos climáticos observados. Esto demuestra que los pronósticos iniciales son de utilidad relativa debido a su gran variabilidad y apartamiento respecto de los valores finales. Sin embargo, se ha demostrado que tanto para la soja como para el maíz, los pronósticos de rendimiento resultaron aceptables dentro de los dos meses previos a su cosecha (Rocha. A, 2005). Otros autores obtuvieron resultados similares para estudios realizados con trigo en India y con maíz en Brasil.

Los modelos de simulación utilizados por ProRindeS (los modelos CERES y CROPGRO en la suite DSSAT) capturan la influencia de muchos factores que influyen sobre el rendimiento simulado, pero también hay otros factores o procesos que no son capturados por estos modelos, mostrando **limitaciones**. La interpretación de los resultados pronosticados debe hacerse con cuidado y considerando qué factores han tenido un rol en la evolución real de los cultivos en una determinada zona. Por ejemplo, las simulaciones de rendimientos no reproducen los efectos de plagas, malezas y enfermedades (los modelos asumen que el cultivo se mantiene libre de estos factores). En años o localidades donde ha habido fuerte incidencia de estos factores, el rendimiento real probablemente sea menor que el rendimiento simulado por ProRindeS. Otro factor que los modelos no capturan es la presencia de exceso de agua (anegamiento o encharcado). Si estos excesos existen, los rendimientos reales probablemente sean inferiores a los simulados. A la inversa, los efectos beneficiosos de una napa freática accesible a las raíces de un cultivo no serán reflejados por las simulaciones si faltan lluvias. En este caso, sin embargo, los rendimientos simulados serán algo menores que los reales (si la falta de lluvia es el único factor de estrés), ya que el subsidio de agua aportado por la napa no se ve reflejado por los modelos. De la misma manera, la presencia de excesos de agua (anegamiento o encharcado) no es capturada por los modelos, por lo que nuevamente los rendimientos reales probablemente sean inferiores a los simulados. Tampoco se tienen en cuenta fenómenos climáticos extremos como las heladas.

2. Resultados de Investigación producto de Vinculación con el sector académico.

1. Introducción

En la última década, más del 90% del trigo argentino se cultiva en una amplia región que va de los 23° a 40° de latitud a los 57° a 67° de longitud, en donde más del 80% se cosecha en la región pampeana (Abbate *et al.*, 2017). En dicha región, se lleva a cabo una producción en secano, por lo cual, el almacenaje de agua en el suelo se ve afectado por la escasez y exceso de precipitaciones. Debido a lo extenso de esta región, la precipitación varía tanto estacional como espacialmente (Pántano *et al.*, 2017). La señal de los eventos El Niño-Oscilación del Sur (ENOS) en las

precipitaciones mensuales en la región de estudio presentan una variabilidad regional. En términos generales las precipitaciones mensuales tienden a estar por encima (debajo) de los valores normales en los eventos El Niño (La Niña), impactando en el almacenamiento de agua en el suelo (Penalba *et al.*, 2019).

Dependiendo de la etapa fenológica, el trigo es sensible a distintas condiciones hídricas y/o térmicas. Dada su importancia en el país, tanto a nivel macroeconómico como para producción individual, teniendo en cuenta que la región presenta alta probabilidad de estrés hídrico (Penalba *et al.*, 2019), y que los modelos agronómicos son una herramienta que permiten simular el crecimiento y desarrollo del cultivo, los **objetivos** de esta sección estudio son:

- a) Determinar cuáles son los períodos de escasa precipitación que impactan en el rendimiento potencial del trigo; y
- b) Evaluar la señal de El Niño-Oscilación del Sur.

2.2 Materiales y Métodos

Con el fin de llevar a cabo este estudio se utilizaron dos bases de datos de 13 estaciones ubicadas en la región pampeana en el período 1961-2017, provistas por el Servicio Meteorológico Nacional (Figura 1):

- a. Datos diarios observados de precipitación;
- b. Rendimientos de trigo simulados por el modelo DSSAT (modelo de simulación agronómica, calibrado localmente: Rocha, 2015), asociados al genotipo más representativo de la localidad, suelo, manejo del cultivo (ciclo largo) y contenido de agua inicial al momento de la siembra (bajo: 20% capacidad de campo -CC-, medio: 50% CC, alto: 100% CC) (<https://prorindes.smn.gov.ar/>).

Con el fin de determinar períodos sensibles asociados a las precipitaciones diarias, se trabajó con dos índices hídricos: precipitación acumulada y cantidad de días secos en distintas ventanas móviles de 15, 30 y 60 días. Para cada localidad y ventana móvil se calcularon las correlaciones de Pearson entre los índices hídricos y los rendimientos (alto y bajo contenido de agua inicial, analizados por separado), asignando el estadístico al último día de la ventana móvil. A partir de estas series temporales de correlación se identificaron, para cada localidad, los períodos sensibles para ambos índices hídricos (T de Student, significancia 95%, una cola. Wilks, 1995).

Los años El Niño y La Niña fueron identificados a partir del Índice Oceánico de El Niño (ONI) de la National Oceanic and Atmospheric Administration (<http://www.cpc.ncep.noaa.gov/>).

2.3. Resultados y Discusión

Inicialmente se evaluaron los períodos sensibles del rendimiento de trigo. En la Figura 5 se presentan las correlaciones entre la precipitación acumulada en ventanas móviles de 30 días y el rendimiento medio con distintos contenidos de agua inicial, para distintas localidades que sintetizan el comportamiento regional.

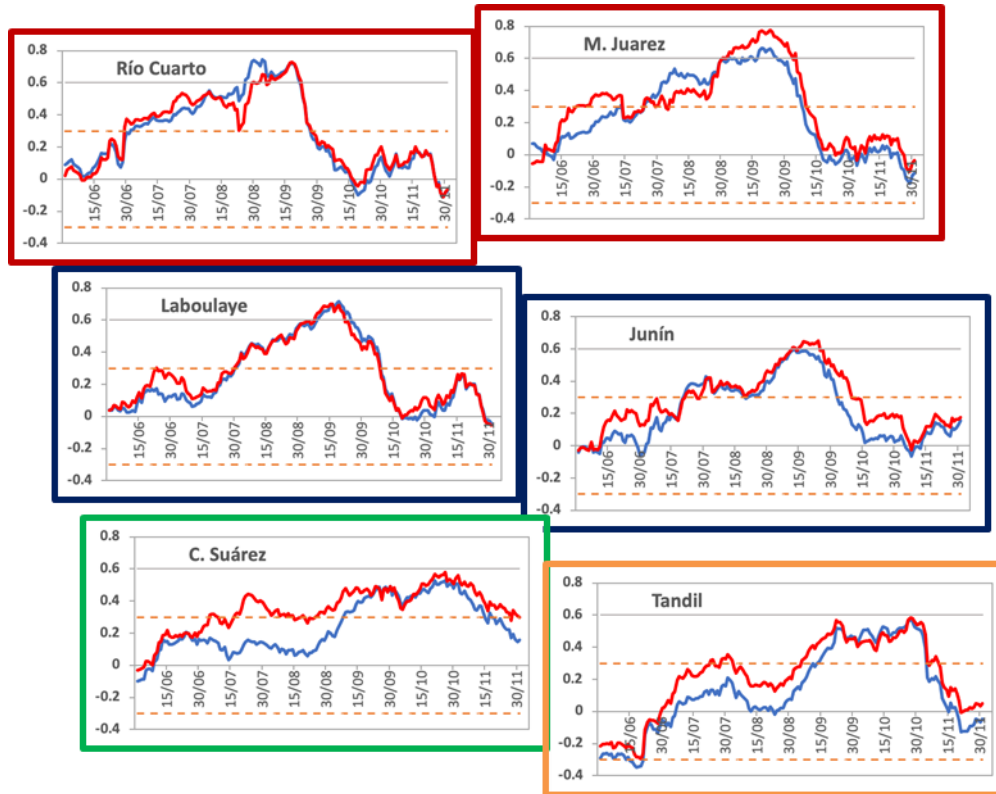


Figura 5: Series de coeficiente de correlación entre precipitación acumulada en ventanas móviles de 30 días y el rendimiento medio con bajo (línea roja) y alto (línea azul) contenido de agua inicial. Las líneas punteadas indican los umbrales de significancia.

Para las estaciones del oeste (Río Cuarto, Laboulaye) no se observan grandes diferencias entre ambos contenidos de agua, siendo el período sensible del 1 de junio al 29 de setiembre. A medida que nos desplazamos hacia el este y sudeste de la región de estudio, comienzan a observarse diferencias. Las estaciones Coronel Suárez y Tandil son las que presentan las mayores diferencias en las correlaciones en las primeras etapas fenológicas del cultivo, variando también el período sensible. En el caso particular de Coronel Suarez, se observa un período sensible desde inicios de agosto, para bajo contenido de agua inicial, correspondiente a las etapas de crecimiento, y no significativo hacia finales del ciclo, cerca de la cosecha.

La identificación de estos períodos se complementó con un estudio de sensibilidad, con el fin de determinar el período con mayor impacto en el rendimiento de trigo asociado a escasas precipitaciones. Para ello, se calculó la probabilidad de tener bajos rendimientos (menores al percentil 33) con bajas precipitaciones (menores al percentil 33). En la Figura 6 (izquierda) se indica esta máxima probabilidad utilizando las simulaciones con bajo contenido de agua inicial.

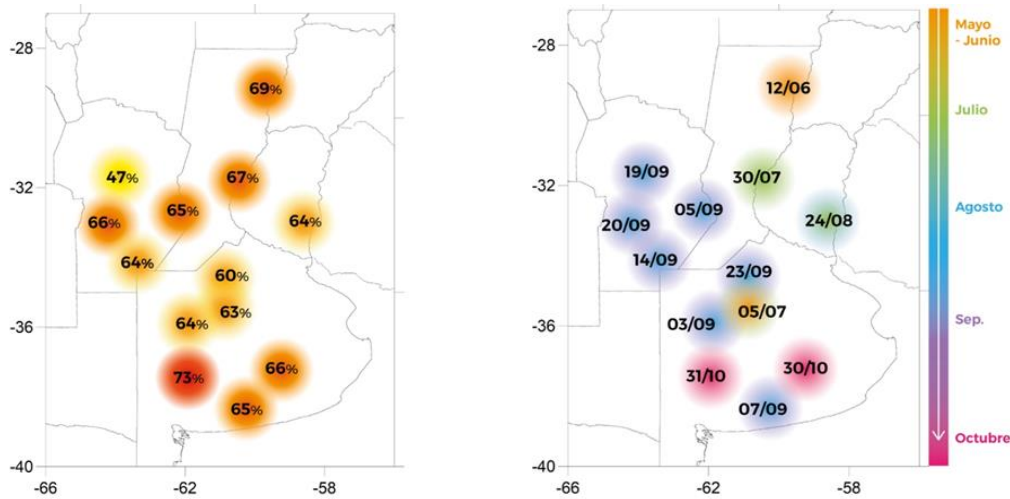


Figura 6: Máxima Probabilidad de bajos rendimientos asociados a escasas precipitaciones, en ventana de 30 días (izquierda) y fechas (indicando el final de la ventana de 30 días) en la cual estas probabilidades máximas ocurren (derecha).

Es interesante observar que las probabilidades son elevadas, mayores al 60% salvo para la estación Pilar-Córdoba. Adicionalmente, se identificaron los períodos de 30 días en los cuales estas probabilidades ocurren (Figura 6, derecha). Se puede observar que los períodos de 30 días acompañan el desfase norte-sur de los ciclos fenológicos.

Finalmente, se analizó la señal de los eventos ENOS en estos períodos de escasas precipitaciones asociados a bajos rendimientos y en la distribución total de los rendimientos. En la Figura 7 se presentan las probabilidades de bajos rendimientos discriminados por eventos ENOS. Las mayores diferencias se observan en las localidades de la provincia de Buenos Aires, Junín representa este comportamiento. La probabilidad de tener bajos rindes con escasas precipitaciones en ventanas de 30 días tiende a ser mayor en años La Niña. En algunos periodos, las probabilidades son mayores al 40% y en algunas localidades llegan al 60% (Marcos Juárez, Laboulaye).

Durante los primeros estadios del ciclo fenológico del trigo se observaron elevadas probabilidades de tener bajos rindes con escasas precipitaciones. Es el caso de las localidades de Coronel Suarez y Junín, cuyas probabilidades son cercanas al 80% (Figura 7).

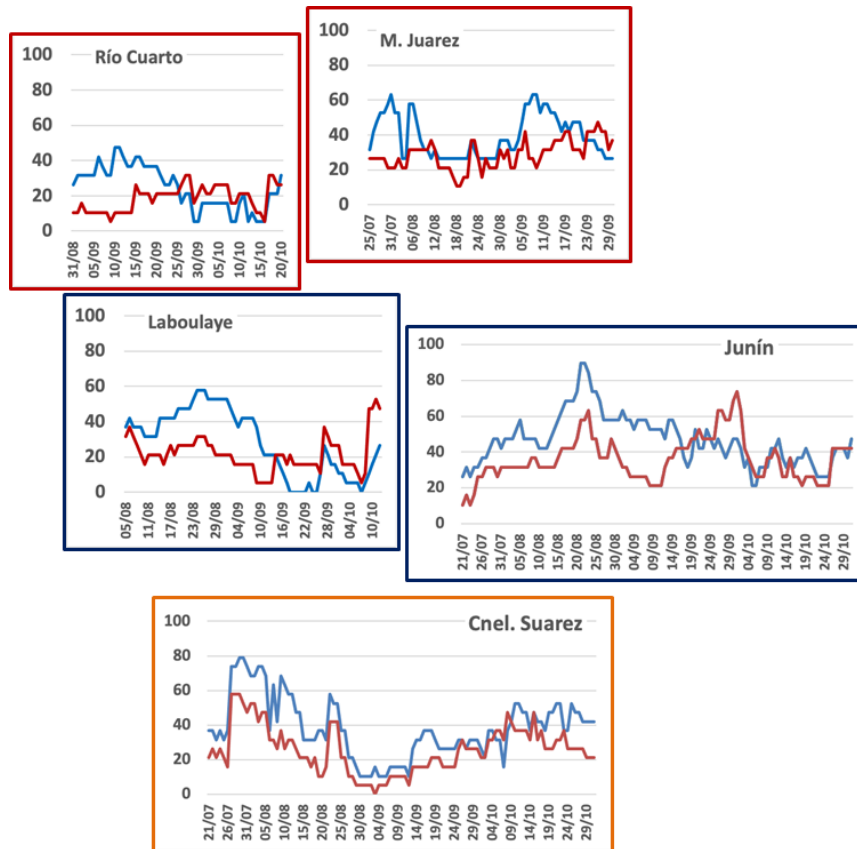


Figura 7: Probabilidad de tener bajos rendimientos (menores al percentil 33) con escasas precipitaciones en 30 días (menores al percentil 33) en eventos El Niño (curva roja); La Niña (curva azul). Utilizando simulaciones con bajo contenido de agua inicial.

Adicionalmente, se calcularon las funciones de distribución acumulada de los rendimientos con bajos contenidos de agua inicial en años El Niño y años La Niña. De la Figura 8 se puede observar que en años La Niña se observan menores rendimientos de trigo, principalmente en las localidades de la provincia de Buenos Aires. En las localidades del oeste y norte de la región de estudio no se observan diferencias significativas entre ambas funciones de distribución.

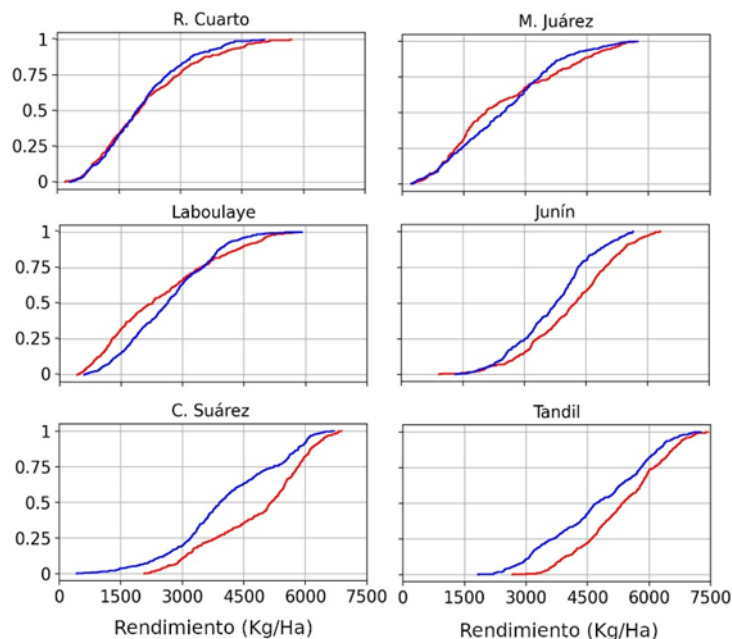


Figura 8: Función de distribución acumulada de los rendimientos con bajos contenidos de agua inicial en años El Niño (curva roja) y años La Niña (curva azul).

2.4. Conclusiones

A partir de rendimientos simulados de trigo (ciclo largo; con alto y bajo contenido de agua inicial) y dos índices hídricos: precipitación acumulada y cantidad de días secos en ventanas móviles de 30 días se identificaron períodos sensibles en los cuales la probabilidad de tener bajos rindes con escasas precipitaciones es mayor al 60%, presentando una regionalización Norte-Sur. Las localidades del oeste de la región de estudio y norte de la provincia de Buenos Aires no presentan diferencias entre alto y bajo contenido de agua inicial. En términos generales, el período sensible se encuentra entre julio y setiembre. Las localidades del centro y sur de la provincia de Buenos Aires presentan diferencias entre alto y bajo contenido de agua inicial. Si el cultivo comienza con alto contenido de agua inicial, el período sensible recién comienza a mediados de setiembre.

La señal de los eventos ENOS en las precipitaciones estacionales y mensuales en la región de estudio, presenta una variabilidad temporal y regional. En términos generales, las precipitaciones tienden a estar por debajo (encima) de los valores normales en los eventos La Niña (El Niño). Los principales resultados indican que en años La Niña la probabilidad de tener bajos rindes con escasas precipitaciones en ventanas de 30 días tiende a ser mayor que en años El Niño. En las localidades del sur de la provincia de Buenos Aires esta probabilidad llega al 80%.

El conocimiento de esta información, para una región determinada y su probabilidad asociada, contribuirán a un Sistema de Alerta Temprana (SAT) más robusto con el fin de disminuir sus impactos, en el marco del Sistema Nacional para la Generación Integral del Riesgo (SINAGIR).

2.5. Agradecimientos

Este trabajo fue realizado con apoyo de los proyectos PIP 0333, UBACyT 20020170100357BA, PICT 2018/03589 y PICT 2019/02933.

Bibliografía

- Abbate P. E.; Cardós M. J.; Campaña L. E. 2017. *El trigo, su difusión, impotancia como alimento y consumo. Manual de trigo. Instituto Internacional de Nutrición de Plantas, Programa Latinoamérica Cono Sur.*
- Bonhauere. D. y Koda. V. (2018). *ProRindeS documentación. Proyecto ProRindeS PY, Universidad Católica. CTA.*
- Pántano, V. C.; Penalba, O. C.; Spescha, L. B.; Murphy, G. M. 2017. *Assessing how accumulated precipitation and long dry sequences impact the soil water storage. International Journal of Climatology 37:4316-4326.*
- Penalba, O.C.; Pántano V. C.; Spescha L. B.; Murphy G. M. 2019. *El Niño–Southern Oscillation incidence over long dry sequences and their impact on soil water storage in Argentina. International Journal of Climatology 39: 2362-2374.*
- Rocha A. (2005). *Pronóstico de rendimiento de los cultivos de granos en la Región Pampeana a través del uso de modelos de simulación agronómica. Cátedra de Cerealicultura. Buenos Aires, Facultad de Agronomía, Universidad de Buenos Aires.*
- Wilks. D. S. 1995. *Statistical Methods in the Atmospheric Sciences. Academic Press. Massachusetts. Estados Unidos. 453 pp.*



Dorrego 4019 (C1425GBE) Buenos Aires . Argentina
Tel: (+54 11) 5167-6767 . smn@smn.gob.ar

www.smn.gob.ar

